

# $OSp(N|4)$ group and their contractions to $P(3, 1) \times Gauge$

Mauricio Ayala<sup>1</sup>

Tutor: Richard Haase<sup>2</sup>

*Departamento de Física  
Universidad Nacional, Bogotá - Colombia*

## Abstract

Starting from  $SO(n, m)$  groups, we are in search of groups that:

- 1.) in a simple way, include  $N$  supersymmetric generators. (see [20])
- 2.) contain as subgroup: the de Sitter group  $SO(4, 1)$  or the Anti-de Sitter group  $SO(3, 2)$
- 3.) permit nontrivial gauge symmetry groups.

The smallest groups satisfying above conditions are the  $OSp(N|4)$  groups, which contain  $Sp(4) \times SO(N)$  ( $Sp(4) \sim SO(3, 2)$ ) or  $OSp(1|4) \times SO(N - 1)$ . Because of this, it is possible to generate  $P(3, 1) \times G$  using groups contraction mechanism, which may be:

$$SO(3, 2) \rightarrow P(3, 1) \quad o \quad OSp(N|4) \rightarrow {}^S P(3, 1|N)$$

where  $P(3, 1)$  is the Poincaré group and  $G$  is a gauge group, say  $SO(N)$  or  $SO(N - 1)$ . This group contraction mechanism and its consequences upon different groups representations including  $SO(3, 2)$  or  $SO(4, 1)$ , is clarified and extended to  $OSp(N|4)$  representations (see [24]), contracted to its  $N$ -extensión SuperPoincaré group  ${}^S P(3, 1|N)$ .<sup>◇</sup>

**Keywords:** Wigner-Inn Contraction, Poincaré and SuperPoincaré Groups, (Anti)de Sitter Groups, Super-AdS Groups.

---

◇ This Document is a physics degree title requirement

---

<sup>1</sup> mao@estudiantes.fisica.unal.edu.co

<sup>2</sup> rhaase@ciencias.ciencias.unal.edu.co

# Contents

<b>1</b>	<b>Introducción</b>	<b>1</b>
<b>2</b>	<b>Mecanismo de Contracción de Inönü-Wigner</b>	<b>4</b>
2.1	Formalismo . . . . .	4
2.2	Contracción de $SO(3) \rightarrow E_2 \equiv T_2 \wedge SO(2)$ . . . . .	5
2.2.1	Representaciones Asociadas a $SO(3)$ y su Esquema de Contracción . . . . .	6
2.3	Contracción de $SO(3,1) \rightarrow \mathbf{G}_3 \equiv K_3 \wedge SO(3)$ . . . . .	8
2.3.1	Representaciones Finitas Asociadas y su Esquema de Contracción . . . . .	9
<b>3</b>	<b>El Grupo de Sitter/Anti-de Sitter</b>	<b>12</b>
3.1	El Grupo $SO(5 - h, h)$ y su Contracción a $P(3, 1) \equiv T_{3,1} \wedge SO(3, 1)$ . . . . .	12
3.2	Representaciones Unitarias del Álgebra Anti-de Sitter . . . . .	14
3.3	Condiciones de Unitaridad para $SO(3, 2)$ . . . . .	16
<b>4</b>	<b>Supersimetría</b>	<b>20</b>
4.1	El Álgebra de SuperPoincaré 4-Dim $^S P(N 3, 1)$ . . . . .	21
4.1.1	El Álgebra Supersimétrica 4-Dim (N=1) . . . . .	24
4.2	Casimir SUSY . . . . .	24
4.3	Clasificación de Irreps SUSY Sobre Estados Singletes de Partículas . . . . .	26
4.3.1	Estados No-Masivos SUSY N. . . . .	26
4.3.2	Ejemplo: Estados No-Masivos SUSY N=1. . . . .	28
4.3.3	Estados Masivos SUSY N. . . . .	28
4.3.4	Ejemplo: Estados Masivos SUSY N=1. . . . .	29
<b>5</b>	<b>Supersimetría Desde Grupos <math>SO(n, m)</math></b>	<b>31</b>
5.1	El Grupo $SO(d - 1, 2)$ . . . . .	31
5.2	Superálgebras Anti-de Sitter . . . . .	32
5.3	Representaciones Unitarias Irreducibles de $OSp(N 4)$ . . . . .	34
5.4	Aplicación al grupo $OSp(8 4)$ . . . . .	36

## 1 Introducción

Se puede decir con seguridad que: la Teoría General de la Relatividad y la Teoría Cuántica de Campos, son los dos marcos teóricos que se imponen en la actualidad al describir las 1+3 interacciones fundamentales conocidas. Teniendo en cuenta que la gravedad no es considerada una interacción en el contexto de la Relatividad General (Forma clásica de ver la naturaleza: teoría macroscópica) y al buscar su modelo cuántico muestra problemas tales como: la no-renormalización (no se pueden absorber las divergencias en las ecuaciones de campo).

Por otro lado la Teoría Cuántica de Campos (t. microscópica) tiene éxito en el Modelo Standard, al considerar los tres grupos gauge de simetría:  $U(1)_Y \times SU(2)_L \times SU(3)_C$ . Los cuales son relevantes para la construcción de una teoría que incluye las interacciones: Electromagnética (EM), Débil (D) y Fuerte (F). Con los respectivos generadores  $Y, T_i, G_a$  ( $i = 1, 2, 3$ ) ( $a = 1, 2, \dots, 8$ ) correspondientes a simetrías de: hipercarga, quilaridad y color en su orden. Estos se introducen en las ecuaciones de campo por medio de la derivada covariante como:(ver [28])

$$D_\mu = I\partial_\mu + gY A_\mu(x) + g'T_i W_\mu^i(x) + g''G_a V_\mu^a(x) \quad A_\mu(x), W_\mu^i(x), V_\mu^a(x) : \text{Campos de interacción.}$$

Las constantes  $g, g', g''$  son las constantes de acoplamiento, donde cada una caracteriza la magnitud de la correspondiente interacción. En esta ecuación se puede notar que hay tantos campos bosónicos o de interacción como generadores de simetría tiene el grupo asociado, los cuales son etiquetados como sigue:

$$(EM) \mapsto 1 \text{ fotón: } A_\mu(x), \quad (D) \mapsto 3 \text{ bosones débiles: } W_\mu^i(x), \quad (F) \mapsto 8 \text{ gluones: } V_\mu^a(x)$$

La Teoría Cuántica de Campos (T.C.C.) surgió como una unión de la Teoría de Grupos (en particular el grupo Poincaré:  $P(3, 1)$  o el grupo de Lorentz:  $SO(3, 1) \subset P(3, 1)$ ) y la Mecánica Cuántica. Donde la estructura de grupo fija de una forma única la matriz  $S$  bajo ciertos parámetros que especifican las interacciones. De una forma más precisa se puede exigir las siguientes condiciones para construir una T.C.C., la cual se impone aquí.

- Cualquier campo debe transformarse como una representación irreducible (irrep) del grupo Poincaré y algún grupo gauge o grupo de simetría interna.
- La teoría debe ser unitaria, su acción causal, renormalizable e invariante bajo estos grupos

Estos postulados exigen fuertes condiciones sobre la teoría, ya que los campos solo pueden ser masivos/no-masivos con espín  $0, 1/2, 1, \dots$  etc. (Fermiones  $\Rightarrow$  partículas de espín semientero) (Bosones  $\Rightarrow$  partículas de espín entero). Sin embargo esta condición no determina la acción: dado que es posible encontrar teorías que son invariantes, no-causales y no-unitarias. Por ejemplo las teorías con derivadas de tercer orden o superior satisfacen esta condición, sin embargo poseen partículas con norma negativa, las cuales violan la unitariedad. Por lo tanto la segunda condición nos ayuda a fijar la acción bajo ciertas representaciones y las constantes de acoplamiento de las interacciones. En resumen: a este marco teórico se le impone dos tipos de simetrías continuas:

- *Simetrías del espacio-tiempo:* Estas incluyen el grupo Poincaré, con  $P(3, 1) \equiv T_{3,1} \wedge SO(3, 1)$  y son simetrías no-compactas. Es decir el rango de sus parámetros es dado por un intervalo abierto sobre los reales (no-compacto) y no confinado (no es posible identificar sus puntos extremos). Por ejemplo: la velocidad de una partícula masiva puede tomar valores entre  $v = 0$  y  $v = c$ , pero no puede tomar el valor  $v = c$ . Además estos valores extremos no pueden ser identificados ( $v = 0 \neq c$ ).
- *Simetrías internas:* Por definición  $G$  es un grupo gauge si  $G$  conmuta con  $P(3, 1) \Rightarrow [G, P(3, 1)] = 0$ , las cuales son simetrías que ‘mezclan’ partículas. Por ejemplo el grupo  $SU(3)$  de simetrías sirve para recombinar el color de los 3 quarks  $\{u, d, s\}$ . Esta simetría interna rota los campos y las partículas en un espacio abstracto: el ‘espacio isotópico’. Estos grupos son compactos y el rango de los parámetros es finito. Por ejemplo el grupo de las rotaciones se puede parametrizar usando ángulos con un rango  $[0, 2\pi]$  identificando  $0$  con  $2\pi$ . Estas simetrías pueden ser globales (independientes del espacio-tiempo) o locales (pueden variar en cada punto del espacio-tiempo) en una teoría gauge.

Una búsqueda fundamental sería: encontrar una teoría unificada de campos que incluya las cuatro interacciones, donde la Relatividad General se pueda considerar como un límite a bajas energías en una teoría cuántica de la gravedad. Pero surge una inhabilidad para buscar un grupo gauge que combine el espectro de partículas con la gravedad cuántica, dado el trabajo de Coleman y Mandula [9]. El cual se resume en el siguiente teorema:

*Teorema de ‘Coleman-Mandula’: Sea la matriz  $S$  no trivial, donde la amplitud de dispersión es una función analítica de: el cuadrado de la transferencia de momento y el cuadrado de la energía de centro de masa. Donde:*

- ◇- *El espectro de estados de masa de una partícula, es un conjunto aislado de valores positivos (posiblemente infinito) con un número finito de tipos de partículas.*
- ◇- *Sea  $F$  una simetría de la matriz  $S \Rightarrow [F, S] = 0$ , con  $P(3, 1) \subset F$ . Donde los generadores del grupo Poincaré pueden ser construidos al menos localmente por operadores integrales en el espacio de momento.*

*Entonces si  $F$  contiene simetrías internas, este debe ser localmente isomorfo al producto directo:*

$$P(3, 1) \times G \quad G \Rightarrow \text{grupo de simetría interna}$$

Este teorema nos indica que no es posible encontrar una extensión no trivial para las simetrías del espacio-tiempo (grupo Poincaré) en la matriz  $S$ . Esto imposibilita mezclar simetrías del espacio-tiempo y simetrías gauge en un mismo grupo de simetría bosónica (los generadores cumplen relaciones de conmutación). De una forma más comprensible se tiene el siguiente resultado:

*Teorema ‘No-go’: Dado un grupo de Lie no-compacto, no es posible encontrar una representación unitaria de dimensión finita para este.(ver [28])*

Entonces: cualquier unión no trivial entre grupos compactos y no-compactos con una representación unitaria de dimensión finita falla. Si se insiste en construir una representación unitaria de un grupo no-compacto esta debe ser necesariamente de dimensión infinita. La cual puede tener propiedades no físicas tales como: un número infinito de partículas en una irrep o un espectro continuo de masas en cada irrep.

Por lo tanto combinar gravedad con los grupos gauge de interacción no resulta nada sencillo. Es aquí donde surge una solución: considerar unos nuevos parámetros que anticonmuten dentro del grupo de simetrías del espacio-tiempo (variables de Grassmann). Donde los nuevos generadores de grupo cumplen relaciones de anti-conmutación (generadores de una nueva simetría: supersimetría), los cuales no son considerados en la derivación original del *teorema Coleman-Mandula*. Supersimetría evade este teorema. Por lo tanto alguna gente impone esta simetría adicional (ver el trabajo de Berenstein [12] como un complemento). En resumen:

- *Supersimetría*: es una simetría relativista que combina simetrías bosónicas y fermiónicas de una manera no trivial, donde los generadores de simetría son de tipo fermiónico (obedece relaciones de anticonmutación). Supersimetría nace al considerar todas las extensiones del grupo Poincaré compatibles con la mecánica cuántica. Actualmente este es el único camino disponible para unificar simetrías internas y simetrías del espacio-tiempo de la matriz  $S$  en una teoría relativista de partículas.

Al construir una teoría supersimétrica en un espacio de Minkowski (métrica plana), se permiten partículas en un mismo multiplete con espín diferente y los demás números cuánticos iguales. Entonces se puede mezclar fermiones y bosones en el mismo multiplete, salvo que tienen un mismo valor de masa.

En la década de los setenta: Ferrara [17], Freedman [18] y sus colaboradores mutuos construyeron una nueva clase de teorías de supergravedad con una  $N$ -extensión de supersimetría no-local. Teoría descrita en un espacio de Sitter que permite campos gauge de espín- $\frac{3}{2}$ , los cuales pertenecen a una representación vectorial de  $O(N)$ . Estas teorías tienen una particularidad: combinan simetrías internas con simetrías del espacio-tiempo de una forma no trivial y pueden ser candidatos a unificar la gravedad con las otras interacciones.

En resumen al tomar el grupo de simetrías de un espacio-tiempo Anti-de Sitter  $SO(3,2)$  isomorfo a  $Sp(4)$  en su álgebra y al acoplar  $N$  generadores de supersimetría, surge un nuevo grupo  $OSp(N|4)$ , el cual es la extensión graduada de  $Sp(4) \times SO(N)$ . Aparece de una forma natural un nuevo grupo  $SO(N)$  de simetría interna. Con la ventaja que supersimetría Anti-de Sitter no implica que las partículas fermiónicas y bosónicas en un mismo multiplete tengan masas iguales.

Aquí se muestra la posibilidad de deducir el grupo  $P(3,1) \times G$  a partir del supergrupo  $OSp(N|4)$  usando mecanismos de contracción de grupo. Método que da una nueva posibilidad de obtener las simetrías del espacio-tiempo usando otros grupos más grandes, los cuales pueden conllevar a nuevas relaciones o propiedades físicas no antes vistas localmente. Por ejemplo una simetría  $SO(3)$  sobre la superficie de la tierra localmente puede verse como una simetría  $E_2 \equiv T_2 \wedge SO(2)$ . Entonces existe una contracción  $SO(3) \rightarrow T_2 \wedge SO(2)$ .

Con este propósito, se da una exposición aumentando el nivel de dificultad: empezando con el método de contracciones de grupo en la sección (2) para familiarizar al lector con esta técnica y sus resultados, ya que al reescalar los generadores, las representaciones también lo son. Ahí se muestran las contracciones:  $SO(3) \rightarrow E_2 \equiv T_2 \wedge SO(2)$   $SO(3,1) \rightarrow G_3 \equiv K_3 \wedge SO(3)$ , útil en la sección (3) al exponer el grupo de Sitter, sus representaciones y su contracción al grupo Poincaré. Luego en la sección (4) se expone el esquema de supersimetría acoplada al grupo Poincaré y su clasificación de irreps, con el propósito de construir sus extensiones a grupos  $SO(n, m)$  teniendo en cuenta la clasificación de Nahm[20] (Sec. 5). Siendo  $OSp(N|4)$  el grupo supersimétrico minimal que contiene  $SO(3,2)$ , luego se muestran sus irreps unitarias y su contracción a SuperPoincaré. Por último, suponiendo un grupo  $OSp(8|4)$  se clasifica su espectro (ver Nicolai [24]) y se usa la contención:

$$OSp(8|4) \supset OSp(1|4) \times SO(7) \quad o \quad OSp(8|4) \supset Sp(4) \times SO(8)$$

para indicar las posibles contracciones a  $P(3,1) \times G$ , con  $G = SO(7)$  o  $SO(8)$ , lo que completa este trabajo.

## 2 Mecanismo de Contracción de Inönü-Wigner

Este método surge al estudiar el límite de la mecánica relativista a la mecánica clásica. Ya que al tomar el límite de la velocidad de la luz a infinito  $c \rightarrow \infty$  (o límite a bajas velocidades comparado con la velocidad de la luz  $v \rightarrow 0$ ) el grupo de Poincaré se transforma en el grupo de Galileo. Otro ejemplo es la transición de la mecánica cuántica a la mecánica clásica considerando el límite a cero de la constante de Planck ( $\hbar \rightarrow 0$ ) en algunos ejemplos físicos. Esta idea fue propuesta y estudiada inicialmente por Inönü y Wigner en 1953 [1], la cual actúa como un proceso límite sobre los generadores de grupo y considerando su álgebra bajo cambio de parámetros de escala conduce a la creación de un nuevo grupo. También ha indicado algunas relaciones importantes en el comportamiento asintótico de las funciones especiales de la física matemática [4].

### 2.1 Formalismo

Sea  $L$  un álgebra de Lie asociada a  $G$ .  $X_a (a = 1, 2, \dots, n)$  una base para  $L$  como espacio vectorial, donde:

$$[X_a, X_b] = \sum_{c=1}^n D_{ab}^c X_c \quad (1 \leq \{a, b\} \leq n) \quad (1)$$

( $D_{ab}^c$ ) es llamada la constante de estructura del álgebra de Lie con respecto a la base dada, donde la identidad de Jacobi impone ciertas condiciones sobre estas constantes:

$$\sum_{c=1}^n (D_{bd}^c D_{ac}^e + D_{da}^c D_{bc}^e + D_{ab}^c D_{dc}^e) = 0 \quad (2)$$

Suponiendo que:

- Es conocida una sucesión infinita  $[X_a]^u$  de bases de  $L$  con  $u = 1, 2, \dots$  y sus correspondientes constantes de estructura  $[D_{ab}^c]^u$ .
- El  $\lim_{u \rightarrow \infty} [D_{ab}^c]^u = [D_{ab}^c]^\infty$  existe para todo  $a, b, c$ .
- La ecuación (2) se preserva bajo el límite.

Se tiene que  $[D_{ab}^c]^\infty$  genera una nueva álgebra  $L'$  y se dice que  $L'$  es **generado bajo la contracción de  $L$** . Formalizando esto de otra manera obtenemos:

◇ **Definición:** Dado  $g \in G$  se define el **Automorfismo Interior  $Ad g$**  como:

$$Ad g(g') \equiv g g' g^{-1} \quad g' \in G \quad (3)$$

◇ **Definición:** Sea  $F$  y  $F'$  subgrupos de un grupo de Lie  $G$ . Se dice que  $F'$  es el **límite de  $F$  en  $G$**  si existe una sucesión  $g_1, g_2, \dots$  de elementos en  $G$  tal que dada una sucesión  $f_1, f_2, f_3, \dots$  de elementos en  $F$ , la sucesión  $Ad g_1(f_1), Ad g_2(f_2), \dots$  converge a un elemento de  $F'$ .

Dado que es más conveniente trabajar con álgebras de Lie que con grupos de Lie, se presenta una versión infinitesimal de esta definición. (ver [2])

◇ **Definición:** Sea  $G$  un grupo de Lie,  $L$  y  $L'$  subálgebras de  $G$ . Se dice que  $L'$  es el **límite de  $L$  en  $G$**  si existe una secuencia  $g_1, g_2, \dots$  de elementos en  $G$  tal que dada una sucesión  $X_1, X_2, X_3, \dots$  de elementos en  $L$ , la sucesión  $Ad g_1(X_1), Ad g_2(X_2), \dots$  converge a un elemento de  $L'$ .

Si  $L$  y  $L'$  están relacionados por este camino se escribe:

$$L' = \lim_{n \rightarrow \infty} Ad g_n(L) \quad (4)$$

En lo que sigue se muestran algunos ejemplos de contracción de grupo, útiles en las otras secciones.

## 2.2 Contracción de $SO(3) \rightarrow E_2 \equiv T_2 \wedge SO(2)$

Dado  $SO(3)$ , el grupo de las rotaciones<sup>1</sup> en  $R^3$ , el cual posee 3 generadores de rotación infinitesimal  $\{J_1, J_2, J_3\}$  y un álgebra correspondiente:

$$[J_r, J_s] = C_{rs}^t J_t \quad C_{rs}^t \equiv i\epsilon_{rs}^t \quad (r, s, t) = 1, 2, 3 \quad (5)$$

$\epsilon_{rs}^t$  representa un tensor totalmente antisimétrico ( $\epsilon_{12}^3 = 1$ ). Para generar la contracción, se construye la siguiente sucesión de elementos del álgebra de  $SO(3)$  dependientes de  $R$ :

$$J_3 \Rightarrow J_0 \equiv J_3, \quad J_r \Rightarrow \Pi_r \equiv \frac{J_r}{R} \quad o \quad J_r = R \Pi_r \quad \text{con } r = 1, 2 \quad (6)$$

Con un álgebra que mantiene la misma forma dada por (5), salvo las constantes de estructura asociadas:

$$[\Pi_1, \Pi_2] = \frac{i}{R^2} J_0, \quad [\Pi_2, J_0] = i\Pi_1, \quad [J_0, \Pi_1] = i\Pi_2, \quad (7)$$

Por otro lado se define la siguiente relación, que dará paso a la contracción:

$$\lim_{R \rightarrow \infty} \Pi_r \equiv K_r \quad \text{con } r = 1, 2 \quad (8)$$

$K_r$  denotará el generador de traslación en  $E_2$ .

Por lo tanto al tomar el límite de contracción en la ecuación (7) ( $\lim_{R \rightarrow \infty}$ ) y usando la ecuación (8), el grupo de rotaciones en  $R^3$  se transforma en el grupo de rotación-traslación en el plano  $E_2 = T_2 \wedge SO(2)$ . Con generadores de traslación  $K_1, K_2$  y el correspondiente generador de rotación  $J_0$ . El álgebra que satisface  $E_2$  toma la forma:

$$[K_1, K_2] = 0, \quad [K_2, J_0] = iK_1, \quad [J_0, K_1] = iK_2, \quad (9)$$

Estas relaciones definen localmente el grupo Euclidiano de Traslación-Rotación, donde la rotación generada por  $J_3$  se conserva. Las rotaciones generadas por  $J_1, J_2$  se transforman bajo el límite como generadores de traslación en las mismas componentes, con la particularidad que  $SO(3) \supset SO(2)$  y al contraer se obtiene  $SO(3) \rightarrow T_2 \wedge SO(2)$ .

Tomando el Casimir de  $SO(3)$ :

$$J^r J_r = J \cdot J = J_1^2 + J_2^2 + J_3^2 \quad (10)$$

Aplicando (6), se obtiene:

$$J \cdot J = R^2(\Pi_1^2 + \Pi_2^2) + J_0^2 \quad (11)$$

Construyendo el Casimir para  $E_2$ , al tomar el límite en la contracción se obtiene:

$$C_{E_2} \equiv \lim_{R \rightarrow \infty} \frac{J \cdot J}{R^2} = \lim_{R \rightarrow \infty} (\Pi_1^2 + \Pi_2^2) + J_0^2/R^2 = K_1^2 + K_2^2 = K \cdot K \quad (12)$$

El anterior método de contracción se puede ver de otro modo: dado  $S_2$  (la esfera 2-Dim), que representa la variedad de simetría del grupo  $SO(3)$  y  $R^2$  (el plano) la variedad de simetría generada por  $E_2$ . Se obtiene entonces que la contracción  $SO(3) \rightarrow E_2$  genera una descompactificación de la esfera 2-Dim al tomar el límite de curvatura a 0 ( $R \rightarrow \infty$ ). En forma explícita tomando una representación en coordenadas esféricas  $(u_1, u_2, u_3)$ , se tiene:

$$u_0 = R \text{Cos}(\theta_1), \quad u_1 = R \text{Sen}(\theta_1) \text{Cos}(\theta_2) \quad u_2 = R \text{Sen}(\theta_1) \text{Sen}(\theta_2) \quad (13)$$

Donde ( $0 \leq \theta_1 < \pi$ ), ( $0 \leq \theta_2 < \pi$ ). Tomando el límite apropiado ( $\lim_{R \rightarrow \infty}$ ) y ( $\theta_1 \simeq r/R$ ), obtenemos el nuevo sistema coordenado  $(x_1, x_2)$  en  $E_2$ :

$$y_1 = R \text{Tan}(\theta_1) \text{Cos}(\theta_2) \rightarrow x_1 = r \text{Cos}(\theta_2), \quad y_2 = R \text{Tan}(\theta_1) \text{Sen}(\theta_2) \rightarrow x_2 = r \text{Sen}(\theta_2) \quad (14)$$

Aquí la circunferencia del ecuador ( $\theta_1 = \pi/2$ ) ‘se envía’ al infinito. (ver [4])

<sup>1</sup>Aquí  $SO(3)$  puede significar la isotropía del espacio 3-Dim.

### 2.2.1 Representaciones Asociadas a $SO(3)$ y su Esquema de Contracción

En lo que sigue por completitud se presenta un análisis standard de los grupos:  $SO(3)$  y  $E_2$ , util en las siguientes secciones (ver [3]). Este se puede obviar hasta la ecuación (48) si lo desea.

Definiendo el álgebra  $J_+, J_-, J_3$ , para  $SO(3)$  como:

$$J_+ = J_1 + iJ_2 \quad , \quad J_- = J_1 - iJ_2 \quad (J_{\pm})^{\dagger} = J_{\mp} \quad (15)$$

Estos cumplen el álgebra:

$$[J_3, J_+] = J_+, \quad [J_+, J_-] = 2J_3, \quad [J_3, J_-] = -J_-, \quad (16)$$

Por lo tanto:

$$J.J = \frac{1}{2}(J_+J_- + J_-J_+) + J_3^2 \quad (17)$$

Podemos ahora encontrar los vectores propios comunes para  $J.J$  y para  $J_3$  ( $SO(3)$ ) con sus correspondientes valores propios  $j(j+1)$ ,  $m$ .

$$J.J|j, m\rangle = j(j+1)|j, m\rangle \quad , \quad J_3|j, m\rangle = m|j, m\rangle \quad (18)$$

De (16) y (18) se tiene que:

$$\begin{aligned} J_3J_+|j, m\rangle &= J_+(J_3+1)|j, m\rangle = (m+1)J_+|j, m\rangle \\ \Rightarrow J_+|j, m\rangle &\equiv a_m|j, m+1\rangle \end{aligned} \quad (19)$$

y

$$\begin{aligned} J_3J_-|j, m\rangle &= J_-(J_3-1)|j, m\rangle = (m-1)J_-|j, m\rangle \\ \Rightarrow J_-|j, m\rangle &\equiv b_m|j, m-1\rangle \end{aligned} \quad (20)$$

Para conocer  $a_m, b_m$  usando la ecuación (17), se obtiene:

$$J_+J_-|j, m\rangle = J.J - J_3(J_3-1)|j, m\rangle = [j(j+1) - m(m-1)]|j, m\rangle \quad (21)$$

$$J_-J_+|j, m\rangle = J.J - J_3(J_3+1)|j, m\rangle = [j(j+1) - m(m+1)]|j, m\rangle \quad (22)$$

Tomando:

$$\langle j, m|J_-J_+|j, m\rangle = [\langle jm|J_+]^+ [J_+|j, m\rangle] \geq 0 \quad (23)$$

$$\langle j, m|J_+J_-|j, m\rangle = [\langle jm|J_-]^+ [J_-|j, m\rangle] \geq 0 \quad (24)$$

Por lo tanto:

$$j(j+1) - m(m+1) = (j-m)(j+m+1) \geq 0 \quad (25)$$

$$j(j+1) - m(m-1) = (j+m)(j-m+1) \geq 0 \quad (26)$$

De (23) se tiene que:

$$\|a_m\|^2 = j(j+1) - m(m+1) \quad (27)$$

De (24):

$$\|b_m\|^2 = j(j+1) - m(m-1) \quad (28)$$

Teniendo en cuenta (25,26)

$$-j \leq m \leq j \quad (29)$$

La posible construcción apartir de  $|j, m\rangle$ , está dada como:

$$|j, m\rangle, J_+|j, m\rangle, \dots, J_+^p|j, m\rangle \quad \text{con } (p > 0) \in \mathbb{Z} \quad (30)$$

Con los correspondientes valores propios de  $J_z$

$$m, m + 1, \dots, m + p = j \quad (31)$$

Y tomando:

$$|j, m\rangle, J_-|j, m\rangle, \dots, J_-^q|j, m\rangle \quad \text{con } (q > 0) \in Z \quad (32)$$

Con los correspondientes valores propios para  $J_z$

$$m, m - 1, \dots, m - q = -j \quad (33)$$

Dada la dependencia de  $|j, m\rangle$  y  $|j, -m\rangle$  con  $(p > 0)$  y  $(q > 0)$  se tiene que:

$$p + q = 2j \quad (34)$$

$$\Rightarrow j = 0, \frac{1}{2}, 1, \frac{3}{2}, \dots \quad (35)$$

Del álgebra (16), se obtiene para  $(m)$  que:

$$m = 0, \pm\frac{1}{2}, \pm 1, \pm\frac{3}{2}, \dots, \pm j \quad (36)$$

Con la siguiente condición para  $m = \pm j$ :

$$J_+|j, m\rangle = 0 \quad \text{para } m = j \quad (37)$$

$$J_-|j, m\rangle = 0 \quad \text{para } m = -j \quad (38)$$

Al hacer contracción a  $E_2$  tenemos el álgebra  $J_0, K_1, K_2$ , que se transforma en el álgebra  $J_0, K_+, K_-$  como:

$$K_+ = K_1 + iK_2 \quad K_- = K_1 - iK_2 \quad (39)$$

Con conmutadores:

$$[K_+, K_-] = 0, \quad [K_-, J_0] = K_-, \quad [J_0, K_+] = K_+, \quad (40)$$

Donde el Casimir asociado toma la forma:

$$K.K = K_+K_- = \frac{1}{2}\{K_+, K_-\} = K_-K_+ \quad (41)$$

Los valores propios y vectores propios asociados están dados como:

$$K.K|k, m\rangle = k^2|k, m\rangle \quad , \quad J_0|k, m\rangle = m|k, m\rangle \quad (42)$$

De (42) y (40) se tiene que:

$$\begin{aligned} J_0K_+|k, m\rangle &= K_+(J_0 + 1)|k, m\rangle = K_+(m + 1)|k, m\rangle = (m + 1)K_+|k, m\rangle \\ \Rightarrow K_+|k, m\rangle &\equiv \bar{a}_m|k, m + 1\rangle \end{aligned} \quad (43)$$

De igual forma para  $K_-$ , usando las ecuaciones (42) y (40) tenemos que:

$$\begin{aligned} J_0K_-|k, m\rangle &= K_-(J_0 - 1)|k, m\rangle = K_-(m - 1)|k, m\rangle = (m - 1)K_-|k, m\rangle \\ \Rightarrow K_-|k, m\rangle &\equiv \bar{b}_m|k, m - 1\rangle \end{aligned} \quad (44)$$

Para conocer  $\bar{a}_m, \bar{b}_m$ . De (41,43) y (44) se obtiene:

$$K.K|k, m\rangle = K_+K_-|k, m\rangle = \bar{b}_mK_+|k, m - 1\rangle = \bar{b}_m\bar{a}_m|k, m\rangle = k^2|k, m\rangle \quad (45)$$

Por lo tanto:

$$\bar{b}_m\bar{a}_m = k^2 \quad (46)$$

Ademas:

$$\langle k, m | K_- K_+ | k, m \rangle = \langle k, m | K_+^\dagger [K_+ | k, m \rangle = [\langle k, m | \bar{a}_m]^\dagger [\bar{a}_m | k, m \rangle] \geq 0 \quad (47)$$

Dado que  $(\langle k, m | k, m \rangle) > 0 \Rightarrow k > 0$ . De igual forma se obtiene que:

$$\bar{a}_m = \bar{b}_m = k \quad (48)$$

Los valores propios ( $m$ ) y vectores propios  $|k, m\rangle$  para  $J_0$  en  $E_2$  conservan la misma estructura asociada a  $J_3$  en  $SO(3)$ , además el valor propio ( $m$ ) toma un valor libre e independiente de  $k$  al hacer contracción. Esto se puede ver usando la ecuación (29), debido a:

$$j \rightarrow j(R) \equiv j_R \quad \text{con} \quad \lim_{R \rightarrow \infty} j_R = \infty \quad (49)$$

Donde:

$$\lim_{R \rightarrow \infty} \frac{J_\pm}{R} = K_\pm \quad \text{y} \quad \lim_{R \rightarrow \infty} |j_R, m\rangle = |k, m\rangle \quad (50)$$

Esto permite definir una nueva base indexada como:

$$\lim_{R \rightarrow \infty} \frac{j_R}{R} = k \quad (51)$$

Se puede notar de la ecuación (51) y de (6) que:

$$j \sim R k \quad \Rightarrow \quad \hbar j \sim R (\hbar k) = R p \quad (52)$$

Análogo a la norma del momento angular clásico  $L = R \times P$ . En el límite de contracción se tiene que:

$$\begin{aligned} K_+ K_- |k, m\rangle = K_+ K_- |k, m\rangle = k^2 |k, m\rangle &= \lim_{R \rightarrow \infty} \frac{J_+ J_-}{R^2} \lim_{R \rightarrow \infty} |j_R, m\rangle \\ &= \lim_{R \rightarrow \infty} \frac{j_R(j_R + 1) - m(m - 1)}{R^2} |j_R, m\rangle \end{aligned} \quad (53)$$

Usando (51) en (53):

$$\lim_{R \rightarrow \infty} \left( \frac{j_R}{R} \right)^2 |j_R, m\rangle = k^2 |k, m\rangle \quad (54)$$

### 2.3 Contracción de $SO(3, 1) \rightarrow \mathbf{G}_3 \equiv K_3 \wedge SO(3)$

Considerando el grupo de Lorentz homogéneo, este tiene 6 generadores  $J_r, B_r$  ( $r = 1, 2, 3$ ). Estos generadores obedecen el siguiente álgebra:

$$[B_r, B_s] = -i\epsilon_{rs}^t J_t, \quad [J_r, B_s] = i\epsilon_{rs}^t B_t, \quad [J_r, J_s] = i\epsilon_{rs}^t J_t \quad (r, s, t) = 1, 2, 3 \quad (55)$$

$B_r$  representa los boosts de Lorentz,  $J_r$  los generadores de rotación. Las rotaciones espaciales se muestran aquí explícitamente, las cuales forman un subgrupo. Se puede escribir (55) de una forma compacta como:

$$[J_{\mu\nu}, J_{\rho\sigma}] = i(\eta_{\nu\rho} J_{\mu\sigma} - \eta_{\mu\rho} J_{\nu\sigma} + \eta_{\mu\sigma} J_{\nu\rho} - \eta_{\nu\sigma} J_{\mu\rho}) \quad \eta_{\mu\nu} \equiv \text{diag}(+++ -) \quad (\mu, \nu = 1, 2, 3, 4) \quad (56)$$

$J_{\mu\nu}$  se define como:

$$J_{\mu\nu} \Rightarrow \left\{ \begin{array}{ll} J_{\mu\nu} \equiv \epsilon_{\mu\nu}^\sigma J_\sigma & \text{si } \mu, \nu, \sigma = 1, 2, 3 \\ J_{4\nu} \equiv B_\nu & \text{si } \mu = 4 \text{ y } \nu = 1, 2, 3 \end{array} \right\} \quad \text{donde } J_{\mu\nu} = -J_{\nu\mu} \quad (57)$$

Los Casimir del grupo de Lorentz propio están dados como:

$$C_2^{1,3} \equiv \frac{1}{2} J^{\mu\nu} J_{\mu\nu} = J^r J_r - B^r B_r, \quad C_4^{1,3} \equiv \frac{1}{2} J^{\mu\nu} \tilde{J}_{\mu\nu} = J^r B_r + B^r J_r = 2(J^r B_r) \quad (58)$$

El dual de  $J_{\mu\nu}$  es definido como:

$$\tilde{J}^{\mu\nu} \equiv \frac{1}{2}\epsilon^{\mu\nu\rho\sigma} J_{\rho\sigma} \quad (59)$$

$\epsilon^{\mu\nu\rho\sigma}$  representa un tensor completamente antisimétrico ( $\epsilon^{1234} = -1$ ).

Para hacer la contracción ( $c \rightarrow \infty$ ) en (55), se define:

$$J_r = J_r \quad (60)$$

$$\Omega_r \equiv \frac{1}{i c} B_r \quad G_r \equiv \lim_{c \rightarrow \infty} \Omega_r \quad r = 1, 2, 3 \quad (61)$$

Al tomar el límite cuando ( $c \rightarrow \infty$ ), las relaciones dadas por (55) toman la forma:

$$\begin{aligned} [J_r, J_s] &= i\epsilon_{rs}^t J_t \\ [J_r, G_s] &= i\epsilon_{rs}^t G_t \\ [G_r, G_s] &= 0 \end{aligned} \quad (62)$$

Teniéndose que estas relaciones definen localmente el grupo de Galileo homogéneo  $\mathbf{G}_3$ , el cual contiene las transformaciones de cambio de sistemas de referencia en movimiento  $G_r$  y las rotaciones espaciales  $J_r$ . Por supuesto este grupo es isomorfo al grupo Euclidiano en 3-Dim  $E_3 = T_3 \wedge SO(3)$ . Al usar la sustitución dada por (61) en los Casimir de Lorentz dados por (58), redefiniendo los Casimir y tomando el límite, se encuentra:

$$C_2^3 \equiv \lim_{c \rightarrow \infty} \frac{C_2^{1,3}}{c^2} = \lim_{c \rightarrow \infty} \frac{1}{2c^2} J^{\mu\nu} J_{\mu\nu} = \lim_{c \rightarrow \infty} (J^r J_r / c^2 + \Omega^r \Omega_r) = G^r G_r = G.G \quad (63)$$

y

$$C_4^3 \equiv \lim_{c \rightarrow \infty} \frac{C_4^{1,3}}{i c} = \lim_{c \rightarrow \infty} \frac{1}{i c} J^{\mu\nu} \tilde{J}_{\mu\nu} = \lim_{c \rightarrow \infty} 2(J^r \Omega_r) = 2(J^r G_r) = 2(J.G) \quad (64)$$

De manera similar a  $T_2$  en la sección (2.2.1), los números  $g$  y  $m$  son independientes y no hay una restricción para  $m$  dependiente de  $g$ .

### 2.3.1 Representaciones Finitas Asociadas y su Esquema de Contracción

Se define a continuación el siguiente conjunto de operadores en el grupo de Lorentz propio, como:

$$\mathcal{A}_r^- \equiv \frac{1}{2}(J_r - iB_r) \quad , \quad \mathcal{A}_r^+ \equiv \frac{1}{2}(J_r + iB_r) \quad (65)$$

$(\mathcal{A}_r^\pm)^\dagger = \mathcal{A}_r^\pm$ , siendo  $J^\dagger = J$  y  $B^\dagger = -B$ , donde:

$$[\mathcal{A}_r^-, \mathcal{A}_s^-] = i\epsilon_{rs}^t \mathcal{A}_t^-, \quad [\mathcal{A}_r^+, \mathcal{A}_s^-] = 0, \quad [\mathcal{A}_r^+, \mathcal{A}_s^+] = i\epsilon_{rs}^t \mathcal{A}_t^+, \quad (66)$$

De (66) puede notarse que esta nueva álgebra conlleva a un isomorfismo entre el álgebra de  $SO(3, 1)$  y el álgebra de  $SO(3) \times \bar{SO}(3)$ . Este conjunto de generadores se puede escribir como  $\mathcal{A}_r^- \equiv \bar{\mathcal{A}}_r \otimes I$  y  $\mathcal{A}_r^+ \equiv I \otimes \mathcal{A}_r$  actuando sobre el espacio producto directo  $\nu_{j_1} \otimes \nu_{j_2}$ , los cuales corresponden a dos espacios vectoriales independientes bajo transformaciones del grupo de Lorentz. La representación del grupo de Lorentz puede ser etiquetada como  $[j_1 \otimes j_2]$ , donde la dimensión de esta irrep es  $(2j_1 + 1)(2j_2 + 1)$ . Usando resultados del álgebra de  $SO(3)$ , los Casimirs de estas álgebras que conmutan, están dados como:

$$\mathcal{A}^- . \mathcal{A}^- = \mathcal{A}^- \cdot \mathcal{A}_r^-, \quad \mathcal{A}^+ . \mathcal{A}^+ = \mathcal{A}^+ \cdot \mathcal{A}_r^+, \quad (67)$$

Con sus correspondientes valores propios  $j_1(j_1 + 1)$  y  $j_2(j_2 + 1)$  respectivamente. Donde los Casimirs del grupo de Lorentz pueden ser expresados en términos de estos como:

$$C_2^{1,3} = 2(\mathcal{A}^- . \mathcal{A}^- + \mathcal{A}^+ . \mathcal{A}^+), \quad C_4^{1,3} = 2i(\mathcal{A}^- . \mathcal{A}^- - \mathcal{A}^+ . \mathcal{A}^+) \quad (68)$$

Con los siguientes valores propios asociados actuando sobre  $|j_1 m_1, j_2 m_2\rangle$ :

$$C_2^{1,3} \Rightarrow 2[j_1(j_1 + 1) + j_2(j_2 + 1)] = 2(j_1 + j_2 + 1)(j_1 + j_2) - 4j_1 j_2 \quad (69)$$

$$C_4^{1,3} \Rightarrow 2i[j_1(j_1 + 1) - j_2(j_2 + 1)] = 2i(j_1 + j_2 + 1)(j_1 - j_2) \quad (70)$$

Construyendo los vectores base acoplados  $|j_1 m_1, j_2 m_2\rangle$  como un producto directo de vectores base de  $SO(3)$ . Donde  $\{\mathcal{A}_r^-\}$  y  $\{\mathcal{A}_r^+\}$  forman 2 conjuntos de generadores independientes de  $SO(3)$  (ver [7]). Por lo tanto se puede definir los operadores vectoriales esféricos  $A_\mu$  y  $\bar{A}_\mu$  con  $\mu = (+, 0, -)$  para cada conjunto de generadores, tal como en la sección (2.2.1):

$$A_+ \equiv \mathcal{A}_1^+ + i\mathcal{A}_2^+ \quad A_- \equiv \mathcal{A}_1^+ - i\mathcal{A}_2^+ \quad A_0 \equiv \mathcal{A}_3^+ \quad (71)$$

La base para  $A_\mu$  es dada como en la sección (2.2.1), etiquetada con los números  $\{j_2, m_2\}$ :

$$\begin{aligned} A_\pm |j_2 m_2\rangle &= N_\pm(j_2 m_2) |j_2 m_2 \pm 1\rangle \quad \text{con } N_\pm(j_2 m_2) = \sqrt{j_2(j_2 + 1) - m_2(m_2 \pm 1)} \\ A_0 |j_2 m_2\rangle &= m_2 |j_2 m_2\rangle \end{aligned} \quad (72)$$

De manera similar se definen los generadores  $\bar{A}_\mu$  para el conjunto de generadores  $\{\mathcal{A}_r^-\}$ , los cuales están etiquetados con los números  $\{j_1, m_1\}$ . Por otro lado para conocer la acción de  $J_r$  y  $B_r$  sobre  $|j_1 m_1, j_2 m_2\rangle$  siguiendo el desarrollo para el álgebra de  $SO(3)$  como en la sección (2.2.1), tenemos que:

$$J_r = \mathcal{A}_r^- + \mathcal{A}_r^+ \quad B_r = i(\mathcal{A}_r^- - \mathcal{A}_r^+) \quad (73)$$

Por lo tanto:

$$\begin{aligned} J_r |j_1 m_1, j_2 m_2\rangle &= \mathcal{A}_r^- |j_1 m_1, j_2 m_2\rangle + \mathcal{A}_r^+ |j_1 m_1, j_2 m_2\rangle \\ B_r |j_1 m_1, j_2 m_2\rangle &= i(\mathcal{A}_r^- |j_1 m_1, j_2 m_2\rangle - \mathcal{A}_r^+ |j_1 m_1, j_2 m_2\rangle) \end{aligned} \quad (74)$$

En particular, se tiene para  $J_3$  y  $B_3$ .

$$\begin{aligned} J_3 |j_1 m_1, j_2 m_2\rangle &= \mathcal{A}_3^- + \mathcal{A}_3^+ |j_1 m_1, j_2 m_2\rangle = (m_1 + m_2) |j_1 m_1, j_2 m_2\rangle \\ B_3 |j_1 m_1, j_2 m_2\rangle &= i(\mathcal{A}_3^- - \mathcal{A}_3^+) |j_1 m_1, j_2 m_2\rangle = i(m_1 - m_2) |j_1 m_1, j_2 m_2\rangle \end{aligned} \quad (75)$$

Todo el análisis para  $SO(3, 1)$  puede ser seguido de los resultados ya obtenidos para  $SO(3)$  teniendo en cuenta que  $SO(3, 1) \sim SO(3) \times \bar{SO}(3)$  en su álgebra. Al hacer contracción a  $G_3 \sim E_3 = T_3 \wedge SO(3)$  tenemos el álgebra asociada  $J_r, G_r$  con  $r = 1, 2, 3$ . Donde el Casimir está dado por:

$$C_2^3 = G.G = G^r G_r = G_1^2 + G_2^2 + G_3^2 \quad (76)$$

Los valores y vectores propios asociados están dados como:

$$G.G |g, m, s\rangle = g^2 |g, m, s\rangle \quad J_3 |g, m, s\rangle = m |g, m, s\rangle \quad G_3 |g, m, s\rangle = s |g, m, s\rangle \quad (77)$$

Los generadores  $\{J_r\} \in G_3$  conservan la misma estructura de  $\{J_r\} \in SO(3, 1)$ . Donde  $m_a$  ( $a = 1, 2$ ) toma un valor libre independiente de  $g$  al hacer contracción, teniendo en cuenta la ecuación (29) en  $SO(3)$ , debido a:

$$j_a \rightarrow j_a(c) = j_{a,c} \quad \text{con} \quad \lim_{c \rightarrow \infty} j_{a,c} = \infty \quad a = 1, 2 \quad (78)$$

Del Casimir cuadrático al hacer contracción, usando las ecuaciones (61) y (63,69,77), se obtiene que:

$$\frac{g^2}{2} = \lim_{c \rightarrow \infty} \left[ \frac{j_{1,c}^2 + j_{2,c}^2 + j_{1,c} + j_{2,c}}{c^2} \right] \quad (79)$$

Pero al tener en cuenta el Casimir cuártico, de (64) y (70) se tiene que:

$$\frac{2i(j_{1,c} + j_{2,c} + 1)(j_{1,c} - j_{2,c})}{ic} = 2c \left( \frac{j_{1,c}^2 + j_{2,c}^2 + j_{1,c} + j_{2,c}}{c^2} - 2 \frac{j_{2,c}^2 + j_{2,c}}{c^2} \right) \quad (80)$$

Y al tomar el límite de contracción:

$$\lim_{c \rightarrow \infty} \frac{2i(j_{1,c} + j_{2,c} + 1)(j_{1,c} - j_{2,c})}{ic} = (g^2 - 2\beta) \lim_{c \rightarrow \infty} c = \left\{ \begin{array}{ll} (g^2 - 2\beta < \infty)\infty & \rightarrow \infty \\ (g^2 - 2\beta = 0)\infty & \rightarrow 0 \end{array} \right\} \quad \beta = \lim_{c \rightarrow \infty} \frac{2(j_{2,c}^2 + j_{2,c})}{c^2} \quad (81)$$

Por lo tanto bajo la contracción, se presentan 2 posibilidades para la representación del Casimir cuártico:

$$2(J.G) = \lim_{c \rightarrow \infty} 2(J.\Omega) \rightarrow \left\{ \begin{array}{ll} \infty & J \parallel G \\ 0 & J \perp G \end{array} \right\} \quad (82)$$

El caso de interes físico se presenta cuando  $2(J.G) = 0$  (operador nulo). Esto tiene solución si  $j_{1,c} = j_{2,c}$  (ver ecuación (81)). Adicionalmente se tiene que  $2(J.G)$  ya no es un Casimir dado que  $[J.G, G] \neq 0$ , entonces se define una nueva base indexada como:

$$\lim_{c \rightarrow \infty} \frac{j_{1,c}}{c} = \lim_{c \rightarrow \infty} \frac{j_{2,c}}{c} = \frac{g}{2} \quad (83)$$

De las ecuaciones (61,77) y (75):

$$\begin{array}{l} m_1 \rightarrow m_1(c) = m_{1,c} \\ m_2 \rightarrow m_2(c) = m_{2,c} \end{array} \quad \lim_{c \rightarrow \infty} m_{1,c} + m_{2,c} = m \quad \lim_{c \rightarrow \infty} \frac{(m_{1,c} - m_{2,c})}{c} = s \quad (84)$$

Una interpretación lineal a esto se puede dar como:

$$\begin{array}{l} m_{1,c} = a_1 c + b_1 \\ m_{2,c} = a_2 c + b_2 \end{array} \quad \text{con} \quad a_1 = -a_2 = \frac{s}{2} \quad y \quad b_1 + b_2 = m \quad (85)$$

Entonces

$$\lim_{c \rightarrow \infty} m_{1,c} + m_{2,c} = \lim_{c \rightarrow \infty} (a_1 + a_2)c + (b_1 + b_2) = m \quad \lim_{c \rightarrow \infty} \frac{(m_{1,c} - m_{2,c})}{c} = \lim_{c \rightarrow \infty} \frac{(a_1 - a_2)c + (b_1 - b_2)}{c} = s \quad (86)$$

Además

$$\lim_{c \rightarrow \infty} |j_{1,c} m_{1,c}, j_{2,c} m_{2,c}\rangle = |g, m, s\rangle \quad (87)$$

Por lo tanto en el límite de contracción se tiene que:

$$\begin{aligned} G.G|g, m, s\rangle &= \lim_{c \rightarrow \infty} \frac{C_2^{1,3}}{c^2} \lim_{c \rightarrow \infty} |j_{1,c} m_{1,c}, j_{2,c} m_{2,c}\rangle \\ &= \lim_{c \rightarrow \infty} \frac{2(j_{1,c} + j_{2,c} + 1)(j_{1,c} + j_{2,c}) - 4j_{1,c} j_{2,c}}{c^2} |j_{1,c} m_{1,c}, j_{2,c} m_{2,c}\rangle \end{aligned} \quad (88)$$

Y usando (83) en (88), se obtiene:

$$\lim_{c \rightarrow \infty} \frac{2(j_{1,c}^2 + j_{2,c}^2)}{c^2} |j_{1,c} m_{1,c}, j_{2,c} m_{2,c}\rangle = g^2 |g, m, s\rangle \quad (89)$$

Para  $B_3$  en el límite de contracción se tiene que:

$$\begin{aligned} G_3|g, m, s\rangle &= \lim_{c \rightarrow \infty} \frac{B_3}{ic} |j_{1,c} m_{1,c}, j_{2,c} m_{2,c}\rangle \\ &= \lim_{c \rightarrow \infty} \frac{(m_{1,c} - m_{2,c})}{c} |j_{1,c} m_{1,c}, j_{2,c} m_{2,c}\rangle = s |g, m, s\rangle \end{aligned} \quad (90)$$

De aquí se puede obtener la contracción  $P(3, 1) \equiv T_{3,1} \wedge SO(3, 1) \rightarrow G(3, 1) \equiv T_3 \wedge G_3$  con  $G_3 \equiv K_3 \wedge SO(3)$ . Dado que esta solo afecta a los generadores de cambio de sistema de referencia o 'boosts', la contracción se restringe a  $SO(3, 1) \rightarrow G_3$ , lo cual se acaba de mostrar.

### 3 El Grupo de Sitter/Anti-de Sitter

Los grupos (Anti) de Sitter, no es algo nuevo, ya que en la década de los treinta, Dirac consideró ecuaciones de onda que eran invariantes bajo grupos Anti-de Sitter[5]. Tiempo despues Fronsdal y sus colaboradores discutieron sus representaciones asociadas[6].

En modelos cosmológicos son los únicos que pueden representar un universo curvo y uniforme en el espacio-tiempo (espacios Riemannianos con constante de curvatura no nula). Estos se clasifican segun su curvatura:

- Si la curvatura es positiva, corresponde al espacio (4,1) de Sitter ( $dS$ ), representado como una superficie 4-Dim de una hiperesfera en un espacio plano 5-Dim con métrica  $\eta_{ij} = diag(+ + + + -)$
- El caso de curvatura negativa (3,2) o espacio Anti-de Sitter ( $AdS$ ) corresponde a una hiperesfera en un espacio con métrica  $\eta_{ij} = diag(+ + + - -)$

Ambos espacios describen un universo en expansión, donde las lineas de universo corresponden a las geodésicas de movimiento con velocidad radial, proporcional a la distancia radial desde cualquier punto del espacio.

Es posible generar el grupo de Poincaré  $P(3, 1)$  como contracción (en el límite de curvatura a cero) del grupo  $SO(5 - h, h)$  (con  $h = 1$  o  $2$ ) de una manera no trivial [8], en la misma forma como es contraído el grupo de Lorentz al grupo de Galileo [7]. Donde el álgebra de  $SO(5 - h, h)$  genera el álgebra de Poincaré tomando el límite  $R \rightarrow \infty$  y manteniendo  $K_\mu$  constante en la relación  $J_{z\mu} = R_z K_\mu = -J_{\mu z}$  con  $z = 1, 5$ .

- Si  $z = 1$ ,  $SO(4, 1)$ : se obtiene una contracción ‘espacial’ al tomar  $R \rightarrow \infty$  en la relación  $J_{1\mu} = R_1 K_\mu$ .
- Si  $z = 5$ ,  $SO(3, 2)$ : se obtiene una contracción ‘temporal’ al tomar  $R \rightarrow \infty$  en la relación  $J_{5\mu} = R_5 K_\mu$ .

Aquí se presenta el grupo de Sitter/Anti-de Sitter, sus propiedades básicas y dado que este es un grupo no-compacto (como se sabe no es posible encontrar una representación de dimensión finita unitaria) se dan las condiciones de unitaridad, útiles para construir las representaciones supersimétricas. Por otro lado se muestra su contracción al grupo Poincaré, donde el parámetro de contracción puede ser el radio de curvatura  $R$  (o la constante de curvatura  $a$ ) del espacio-tiempo  $AdS$ , con  $R \rightarrow \infty$  ( $a \rightarrow 0$ ).

#### 3.1 El Grupo $SO(5 - h, h)$ y su Contracción a $P(3, 1) \equiv T_{3,1} \wedge SO(3, 1)$

En general el grupo  $SO(5 - h, h)$  ( $h = 1$  o  $2$ ) corresponde al grupo de simetrías maximal en un espacio  $dS/AdS$  que se puede describir como una hipersuperficie embuida en un espacio 5-dimensional. Usando las coordenadas  $y^i$  con  $i = 1, 2, 3, 4, 5$ , la hipersuperficie es definida por:

$$(y^1)^2 + (y^2)^2 + (y^3)^2 \pm (y^4)^2 - (y^5)^2 = \eta_{ij} y^i y^j = -a^{-2} \quad \text{con} \quad a \equiv \frac{1}{R} \quad (91)$$

Donde  $y^5$  representa la coordenada extra. Es claro que la hipersuperficie es invariante bajo transformaciones lineales que preserven la métrica  $\eta_{ij} = diag(+ + + \pm -)$ . Estas transformaciones constituyen el grupo de Sitter/Anti-de Sitter  $SO(5 - h, h)$  con  $\frac{1}{2}5(5 - 1) = 10$  generadores denotados por  $J_{ij}$  que representan los operadores de rotación en  $E_5$ . Estos satisfacen el álgebra:

$$[J_{ij}, J_{kl}] = i(J_{ik}\eta_{jl} - J_{il}\eta_{jk} + J_{jl}\eta_{ik} - J_{jk}\eta_{il}) \quad \text{con} \quad \{i, j, k, l, m\} = 1, 2, 3, 4, 5 \quad (92)$$

Los dos Casimirs de Sitter/Anti-de Sitter son:

$$C_2 \equiv \frac{1}{2} J_{ij} J^{ij} \quad C_4 \equiv W^i W_i \quad (93)$$

Donde  $W_i$  representa un vector 5-Dim definido como:

$$W_i \equiv \frac{1}{2} \varepsilon_{ijklm} J^{jk} J^{lm} \quad (94)$$

$\varepsilon$  es un tensor totalmente antisimétrico con 5 índices, siendo  $J^{ij} = J_{kl}\eta^{ik}\eta^{jl}$ . Para la contracción se define:

$$\Pi_\mu \equiv \frac{1}{R_z} J_{z\mu} \quad \text{con } z = 1 \text{ o } 5 \quad (95)$$

Reescribiendo (92) en la forma 4-Dim usando (95), se obtiene:

$$[J_{\mu\nu}, J_{\rho\sigma}] = i(J_{\mu\rho}\eta_{\nu\sigma} - J_{\mu\sigma}\eta_{\nu\rho} + J_{\nu\sigma}\eta_{\mu\rho} - J_{\nu\rho}\eta_{\mu\sigma}) \quad (96)$$

$$[\Pi_\mu, J_{\rho\sigma}] = i(\Pi_\rho\eta_{\mu\sigma} - \Pi_\sigma\eta_{\mu\rho}) \quad [\Pi_\mu, \Pi_\nu] = \frac{i}{R_z^2} J_{\mu\nu} \quad (97)$$

Con  $\{\mu, \nu, \rho, \sigma, \lambda\} = 1, 2, 3, 4$ . En el límite de contracción se define:

$$\lim_{R_z \rightarrow \infty} \Pi_\mu \equiv K_\mu \quad (98)$$

donde  $K_\mu$  denota el operador de translación en el espacio-tiempo plano. Aquí se puede ver que una rotación en el plano  $(x_1, x_\mu)$  o  $(x_\mu, x_5)$  se transforma en una traslación espacio-temporal en el límite de curvatura cero. Obteniéndose los generadores del grupo Poincaré  $K_\mu, J_{\nu\sigma}$  bajo la contracción. Donde el álgebra que este satisface, coinciden con (96) y al tomar  $\lim_{R_z \rightarrow \infty}$  en (97) se recuperan las siguientes relaciones:

$$[J_{\mu\nu}, J_{\rho\sigma}] = i(J_{\mu\rho}\eta_{\nu\sigma} - J_{\mu\sigma}\eta_{\nu\rho} + J_{\nu\sigma}\eta_{\mu\rho} - J_{\nu\rho}\eta_{\mu\sigma}) \quad (99)$$

$$[K_\mu, J_{\rho\sigma}] = i(K_\rho\eta_{\mu\sigma} - K_\sigma\eta_{\mu\rho}) \quad [K_\mu, K_\nu] = 0 \quad (100)$$

Reescribiendo los invariantes ‘de Sitter’ en (93) usando (95), se tiene para el primer invariante:

$$C_2 = \frac{1}{2} J_{ij} J^{ij} = R_z^2 \Pi_\mu \Pi^\mu + \frac{1}{2} J_{\mu\nu} J^{\mu\nu} \quad (101)$$

Por lo tanto al tomar el límite de curvatura cero ( $\lim_{R_z \rightarrow \infty}$ ). Se obtiene el primer invariante de Poincaré:

$$C_2^{3,1} \equiv \lim_{R_z \rightarrow \infty} \frac{C_2}{R_z^2} = K_\mu K^\mu \quad (102)$$

Tomando un procedimiento similar usando (95) en (94), el segundo invariante ‘de Sitter’ toma la forma:

$$\begin{aligned} C_4 = W_i W^i &= \frac{1}{4} R_z^2 \varepsilon_{\lambda z \rho \mu \nu} \Pi^\rho J^{\mu\nu} \varepsilon^{\lambda z \rho' \mu' \nu'} \Pi_{\rho'} J_{\mu' \nu'} + \frac{1}{8} \varepsilon_{z \mu \nu \rho \sigma} J^{\mu\nu} J^{\rho\sigma} \varepsilon_{z \mu' \nu' \rho' \sigma'} J^{\mu' \nu'} J^{\rho' \sigma'} \\ &= \frac{1}{4} R_z^2 \varepsilon_{\lambda z \rho \mu \nu} \Pi^\rho J^{\mu\nu} \varepsilon^{\lambda z \rho' \mu' \nu'} \Pi_{\rho'} J_{\mu' \nu'} + \frac{1}{4} J_{\mu\nu} J^{\mu\nu} J_{\mu' \nu'} J^{\mu' \nu'} \end{aligned} \quad (103)$$

Al desarrollar el primer término del lado derecho usando (97) obtenemos:

$$\begin{aligned} \frac{1}{4} R_z^2 \varepsilon_{\lambda z \rho \mu \nu} \Pi^\rho J^{\mu\nu} \varepsilon^{\lambda z \rho' \mu' \nu'} \Pi_{\rho'} J_{\mu' \nu'} &= R_z^2 \varepsilon_{\rho \mu \nu} \Pi^\rho J^{\mu\nu} \varepsilon^{\rho' \mu' \nu'} \Pi_{\rho'} J_{\mu' \nu'} \\ &= R_z^2 \Pi^\rho J^{\mu\nu} \Pi_\rho J_{\mu\nu} - \Pi^\rho J^{\mu\nu} \Pi_\mu J_{\nu\rho} \\ &= R_z^2 J^{\mu\nu} J_{\mu\nu} \Pi^\rho \Pi_\rho - J^{\nu\rho} \Pi_\nu J_{\mu\rho} \Pi^\mu \end{aligned} \quad (104)$$

El segundo término del lado derecho en la ecuación (103) desaparece al tomar el límite de curvatura cero ( $\lim_{R_z \rightarrow \infty}$ ), por lo tanto el segundo invariante de Poincaré toma la siguiente forma:

$$C_4^{3,1} \equiv \lim_{R_z \rightarrow \infty} \frac{C_4}{R_z^2} = J^{\mu\nu} J_{\mu\nu} K^\rho K_\rho - J^{\nu\rho} K_\nu J_{\mu\rho} K^\mu = (J : J)(P.P) - (J.P).(J.P) \quad (105)$$

Este invariante puede ser llevado a la siguiente forma:

$$C_4^{3,1} = W^\mu W_\mu \quad \text{con } W_\mu = \frac{1}{2} \varepsilon_{\mu\nu\rho\sigma} K^\nu J^{\rho\sigma} \quad (106)$$

Aquí el vector  $W_\mu$  representa el vector de Pauli-Lubanski. El cual se puede escribir en términos de los generadores de momento angular y los ‘boosts’:

$$W_4 = J.K \quad W = -JK_4 - B \times K \quad (107)$$

El cual cumple el siguiente álgebra:

$$[W_\mu, J_{\rho\sigma}] = i(\eta_{\mu\rho}W_\sigma - \eta_{\mu\sigma}W_\rho) \quad [W_\mu, W_\nu] = iW^\rho K^\sigma \varepsilon_{\rho\sigma\mu\nu} \quad [W_\mu, K_\nu] = 0 \quad W.K = 0 \quad (108)$$

De aquí que  $W_\mu$  conmuta con  $K_\nu$  y es ortogonal a este mismo. Dado el propósito de este trabajo y teniendo en cuenta los resultados en la sección (5.2), se enfocará nuestro interés en las representaciones unitarias del álgebra Anti-de Sitter, útil en la última sección. En lo que sigue: como complemento ver [21, 23, 24, 25]

### 3.2 Representaciones Unitarias del Álgebra Anti-de Sitter

Al tomar los generadores  $J_{ij}$  de  $SO(3,2)$ , estos permiten una representación en forma espinorial dada por las matrices gamma ( $\langle \cdot | J_{ij} | \cdot \rangle = \Gamma_{ij}$ ), las cuales son una representación de dimensión finita:

$$J_{ij} \Rightarrow \left\{ \begin{array}{ll} \frac{1}{2}\Gamma_{ij} & \text{para } i, j = 1, 2, 3, 4 \\ \frac{1}{2}\Gamma_j & \text{para } i = 5, j = 1, 2, 3, 4 \end{array} \right\} \quad \text{donde } J_{ij} = -J_{ji} \quad (109)$$

Estas satisfacen la propiedad de Clifford  $\{\Gamma^\mu, \Gamma^\nu\} = 2\eta^{\mu\nu} \mathbf{1}$ , con  $\eta^{\mu\nu} = \text{diag}(+, +, +, -)$ . Por lo tanto forman una representación del grupo de cobertura  $Sp(4)$  de  $SO(3,2)$ . Donde  $Sp(n)$  se define como el conjunto de operadores unitarios ( $J^\dagger J = I$ ) que cumplen  $M^\dagger J M = J$  con  $M^\dagger M = I$  y  $J = \sigma \otimes I$ , donde  $J^2 = -I$ . Este posee  $\frac{1}{2}(n+1)n$  generadores. En esta representación no todos los generadores son unitarios, por ejemplo:

$$\begin{aligned} J_{ij} &= J_{ij}^\dagger & \text{para } J_{rs}, J_{45} & \text{con } r, s = 1, 2, 3 \\ J_{ij} &= -J_{ij}^\dagger & \text{para } J_{4r}, J_{r5} \end{aligned} \quad (110)$$

La anterior relación es consecuencia de no poder obtener una representación unitaria de dimensión finita para un grupo no-compacto. Para obtener la hermiticidad de la representación en los generadores  $J_{ij} = J_{ij}^\dagger$ , se requiere una representación de dimensión infinita la cual si tiene relevancia física. De la ecuación (110) se distingue los generadores compactos  $J_{45}$  y  $J_{rs}$  de los no-compactos  $J_{r5}, J_{4r}$ . Esta clasificación es válida también en una representación de dimensión infinita. Los operadores  $J_{rs}$  y  $J_{45}$  generan un subálgebra compacta maximal asociada al grupo  $SO(3) \times SO(2)$ . Los generadores  $J_{rs}$  satisfacen el álgebra usual de momento angular.

$$J_{rs} = \epsilon_{rst}^t J_t \quad \text{con } r, s, t = 1, 2, 3 \quad (111)$$

Se define ahora los siguientes operadores en  $SO(3,2)$  como:<sup>2</sup>

$$M_r^+ = iJ_{4r} + J_{5r} \quad M_r^- = iJ_{4r} - J_{5r} \quad M_r^- = -(M_r^+)^\dagger \quad r = 1, 2, 3 \quad (112)$$

Con un álgebra asociada:

$$[M_r^+, M_s^-] = 2(\delta_{rs} J_{45} + iJ_{rs}) \quad [M_r^+, M_s^+] = [M_r^-, M_s^-] = 0 \quad (113)$$

También se tiene que:

$$[J_{45}, M_r^+] = M_r^+ \quad [J_{45}, M_r^-] = -M_r^- \quad (114)$$

Donde  $M_r^+$  Y  $M_r^-$  sube y baja respectivamente en una unidad los valores propios de energía de los estados sobre el cual son aplicados. Más adelante se usarán los operadores  $M_{1+2i}^\pm$  y  $M_{1-2i}^\pm$  definidos como:

$$M_{1+2i}^\pm = \frac{1}{\sqrt{2}}(M_1^\pm + iM_2^\pm) \quad M_{1-2i}^\pm = \frac{1}{\sqrt{2}}(M_1^\pm - iM_2^\pm) \quad (115)$$

<sup>2</sup>se asume desde ahora que  $J_{ij} = J_{ij}^\dagger$  en su representación matricial

Estos suben y bajan respectivamente la componente z de espín por una unidad. Estos cumplen un álgebra:

$$[M_{1\pm 2i}^\pm, M_{1\mp 2i}^\pm] = 0 \quad [M_{1\pm 2i}^\pm, M_{1\mp 2i}^\mp] = 2(J_{45} \pm J_3) \quad [M_{1\pm 2i}^+, M_{1\pm 2i}^-] = 0 \quad (116)$$

Adicionalmente para  $J_{45}$  y ( $J_3 = J_{12}$ ):

$$[J_3, M_{1\pm 2i}^+] = \pm M_{1\pm 2i}^+ \quad [J_3, M_3^+] = 0 \quad [J_{45}, M_{1\pm 2i}^+] = M_{1\pm 2i}^+ \quad [J_{45}, M_{1\pm 2i}^-, J_{45}] = -M_{1\pm 2i}^- \quad (117)$$

Asumiendo que existe una representación espacial sobre los operadores  $J_{ij}$ . Es conveniente etiquetar los estados por los valores propios de  $J_{45}$ ,  $J^r J_r$  y  $J_3$ , los cuales son de la forma:

$$\begin{aligned} J^r J_r |(\dots)E_0 s m\rangle &= s(s+1) |(\dots)E_0, s, m\rangle \\ J_{45} |(\dots)E_0 s m\rangle &= E_0 |(\dots)E_0, s, m\rangle \\ J_3 |(\dots)E_0 s m\rangle &= m |(\dots)E_0, s, m\rangle \end{aligned} \quad (118)$$

Donde (...) denota un conjunto no especificado de etiquetas. El operador Casimir  $C_2$  puede ser escrito como:

$$C_2 = (J_{45})^2 + \frac{1}{2}J^{rs}J_{rs} + J^{4r}J_{4r} + J^{5r}J_{5r} = (J_{45})^2 + J^r J_r + \frac{3}{2}\{M_r^+, M_r^-\} \quad (119)$$

Note que:  $\frac{1}{2}J^{rs}J_{rs} = J^r J_r$ ,  $J^{4r}J_{4r} = -3(J_{4r})^2$ ,  $J^{5r}J_{5r} = -3(J_{5r})^2$ , donde  $\{M_r^+, M_r^-\} = -2(J_{4r}^2 + J_{5r}^2)$ . Las posibles representaciones se separan en dos clases:

- No existen estados que puedan ser aniquilados por los operadores de bajada  $M_r^-$ . Ya que el operador de energía  $J_{45}$  no es acotado hacia abajo y cualquier estado de energía es obtenido por aplicación de  $M_r^-$ . Este caso no es de interés físico.<sup>3</sup>
- Existe un conjunto de estados que son aniquilados por  $M_r^-$ . Donde el espectro de energía es acotado hacia abajo. Si se denota los valores propios de energía por  $E_0$  y los valores momento angular por  $s$ , el vacío consiste de  $(2s+1)$  estados  $|(E_0, s)E_0, s, m\rangle$ ,  $m = -s, -s+1, \dots, s-1, s$ . Aunque se podría usar los valores propios de los Casimir  $C_2$  y  $C_4$  para etiquetar las representaciones, es conveniente usar  $E_0$  y  $s$ .

Para evaluar  $C_2$  sobre el estado de vacío  $|(E_0, s)\rangle$ , se usa:

$$M_r^- |(E_0, s)E_0, s, m\rangle = 0 \quad (120)$$

Al reemplazar  $\{M_r^+, M_r^-\}$  en (119) por  $-[M_r^+, M_r^-]$ , teniendo en cuenta (120) junto con (118) y (113):

$$C_2 |(E_0, s)E_0, s, m\rangle = E_0(E_0 - 3) + s(s+1) |(E_0, s)E_0, s, m\rangle \quad (121)$$

Al considerar una T.C.C. en un espacio de Minkowski, la representación del espacio de Fock se construye al actuar los operadores de creación  $A_i^+$  sobre el estado de vacío  $|(E_0, s)E_0, s, m\rangle$ . De esta forma al hacer la extensión a espacios  $AdS$ , una representación del espacio  $\aleph$  es escrita como:

$$\aleph = \bigoplus_{n=0}^{\infty} (\aleph_n) \quad \text{con} \quad J_{45}\aleph_n = (E_0 + n)\aleph_n \quad \dim \aleph_n < \infty \quad (122)$$

Donde  $\aleph_n$  es generado por todos los vectores de la forma:

$$\sum_{n_1+n_2+n_3=n} C_{n_1 n_2 n_3} (M_1^+)^{n_1} (M_2^+)^{n_2} (M_3^+)^{n_3} |(E_0, s)E_0, s, m\rangle \quad C_{n_1 n_2 n_3} \in \mathbb{C} \quad (123)$$

Como tal  $\aleph$  no es un espacio de Hilbert, aunque posee un producto interior. La estructura de espacio de Hilbert puede ser impuesta sobre  $\aleph$  con un producto escalar positivo.

$$\|\psi_n\|^2 = (\psi_n, \psi_n) > 0 \quad \text{para } 0 \neq \psi_n \in \aleph_n \quad (124)$$

<sup>3</sup>Cabe anotar que la ecuación (121) no es válida para esta representación ‘continua’

Esto garantiza que las representaciones sean unitarias.  $\aleph$  consiste de todos los vectores de la forma.

$$\psi = \sum_{n=0}^{\infty} \psi_n \quad \|\psi\|^2 = \sum_{n=0}^{\infty} \|\psi_n\|^2 < \infty \quad (125)$$

El estado  $|(E_0, s)E_0, s, m\rangle$  se asume ortonormal. La norma de los otros estados son calculados a continuación, incrementando la energía, al mover los operadores boost  $M_r^+$  a la izquierda usando la condición (120) y las relaciones (113) hasta (117) (ver [24, 25]). En ciertos casos límites la norma de algunos estados es cero, por lo tanto el espacio de Hilbert físico se obtiene al excluir estos estados mediante la factorización:

$$\aleph_{Fis.} = \aleph / \aleph^{(0)} \quad \aleph^{(0)} = \{\psi \in \aleph, \|\psi\| = 0\}$$

### 3.3 Condiciones de Unitaridad para $SO(3, 2)$

Asumiendo que el espectro de energía está acotado por abajo ( $E \geq E_0$ ) y considerando las irreps unitarias de bajo peso, donde los estados son etiquetados como  $|E_0, s, m\rangle$ . Tal que  $E_0$  denota el valor propio de energía y  $s$  el valor del momento angular total. Existen más números cuánticos asociados con el operador de momento angular sobre algún eje pero no se consideran y se suprimen aquí. Dado que los estados con  $E < E_0$  pueden aparecer, se establece la condición (120) sobre los estados base. Por lo tanto las representaciones pueden ser construidas al actuar los operadores de subida sobre el estado de vacío  $|E_0, s, m\rangle$ . Es decir todos los estados de energía  $E = E_0 + n$  son construidos por  $n$ -productos de operadores de creación  $M_r^+$ , de esta forma se obtiene los estados de valores propios  $E$  superiores con espín superior. Cada estado es  $(2s + 1)$ -veces degenerado. Para obtener las restricciones sobre los números cuánticos  $E_0$  y  $s$  del vacío que determinan la unitaridad, se deja actuar los operadores de energía y los boost de espín  $M_{1+2i}^+$  sobre el estado de vacío, obteniéndose:

$$\begin{aligned} M_{1+2i}^+ |(E_0, s)E_0, s, m\rangle &= R_+ \langle sm11 | s + 1, m + 1 \rangle |(E_0, s)E_0 + 1, s + 1, m + 1\rangle + \\ &R_0 \langle sm11 | s, m + 1 \rangle |(E_0, s)E_0 + 1, s, m + 1\rangle + \\ &R_- \langle sm11 | s - 1, m + 1 \rangle |(E_0, s)E_0 + 1, s - 1, m + 1\rangle \end{aligned} \quad (126)$$

Donde el operador  $M_{1+2i}^+$  al ser aplicado sobre un estado de momento angular  $s$ , obtiene 3 estados de momento angular total  $s + 1$ ,  $s$ ,  $s - 1$ . Los coeficientes de Clebsch-Gordan en (126) son dados por:

$$\begin{aligned} \langle sm11 | s + 1, m + 1 \rangle &= \left( \frac{(s+m+1)(s+m+2)}{(2s+1)(2s+2)} \right)^{\frac{1}{2}} \\ \langle sm11 | s, m + 1 \rangle &= - \left( \frac{(s+m+1)(s-m)}{2s(s+1)} \right)^{\frac{1}{2}} \\ \langle sm11 | s - 1, m + 1 \rangle &= \left( \frac{(s-m)(s-m+1)}{2s(2s+1)} \right)^{\frac{1}{2}} \end{aligned} \quad (127)$$

Al restringir (126) para cada uno de los casos con momento angular  $s$  ( $s = 0, \frac{1}{2}, 1, \dots$ ), se obtiene:

- Para  $s = 0$  los últimos dos coeficientes de Clebsch-Gordan son indeterminados y los últimos dos términos del lado derecho de (126) desaparecen.
- Para  $s = 1/2$  el último término del lado derecho de (126) desaparece.
- Para  $s \geq 1$  todos los términos del lado derecho de (126) están presentes.

Para calcular los términos  $\{R_+, R_0, R_-\}$  se escoje ( $m = s$ ): solo el caso con momento angular  $s + 1$  contribuye en (126). Se calcula la norma en ambos lados de la ecuación, teniendo en cuenta que  $(M_{1+2i}^+)^{\dagger} = -M_{1-2i}^-$  aniquila el estado de vacío y usando (113) se sustituye el producto  $(M_{1+2i}^+)^{\dagger} M_{1+2i}^+$  en términos del conmutador:

$$- [M_{1-2i}^-, M_{1+2i}^+] = 2(J_{45} + J_3) \quad (128)$$

Se obtiene que:

$$|R_+|^2 = 2(E_0 + s) \quad (129)$$

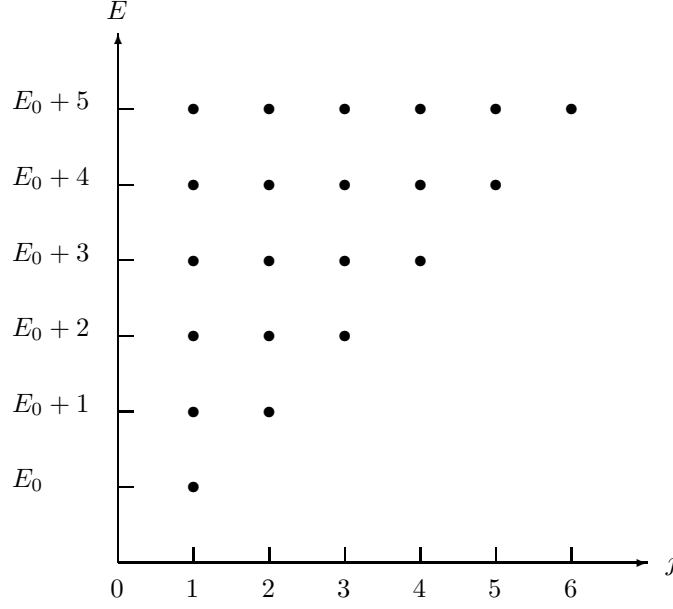


Figure 1: Estados de la representación con espín  $s = 1$  en términos de los valores propios de energía  $E$  y momento angular  $j$ .

Usando el mismo método para  $R_0$  y  $R_-$  con  $m = s - 1$  y  $m = s - 2$ , se obtiene las ecuaciones:

$$\begin{aligned}
 2(E_0 + s - 1) &= \frac{2(E_0 + s)(2s + 1)s}{(2s + 1)(s + 1)} + \frac{|R_0|^2(s)}{s(s + 1)} + \frac{|R_-|^2}{s(2s + 1)} \\
 2(E_0 + s - 2) &= \frac{2(E_0 + s)(2s - 1)s}{(2s + 1)(s + 1)} + \frac{|R_0|^2(2s - 1)}{s(s + 1)} + \frac{3|R_-|^2}{s(2s + 1)}
 \end{aligned} \tag{130}$$

Con solución:

$$|R_0|^2 = 2(E_0 - 1) \tag{131}$$

$$|R_-|^2 = 2(E_0 - s - 1) \tag{132}$$

De las ecuación (129,131,132) se puede concluir:

- Para  $s \geq 1$ , el requerimiento unitario es dado como:

$$E_0 \geq s + 1 \quad \text{para } s \geq 1 \quad \text{con } s = 1, \frac{3}{2}, 2, \dots \tag{133}$$

Si  $E_0 = s + 1$ , los valores propios de  $C_2$  son negativos si  $s > 1$  y cero si  $s = 1$ , usando (121) se obtiene:

$$C_2|(E_0 = s + 1, s)(E_0 = s + 1), s, m\rangle = 2(s^2 - 1)|(E_0 = s + 1, s)(E_0 = s + 1), s, m\rangle \tag{134}$$

- Para  $s = 1/2$  de (131) se puede inferir que:

$$E_0 \geq 1 \quad \text{para } s = 1/2 \tag{135}$$

Para el caso particular  $E_0 = 1$  se tiene la representación singleton de espín- $\frac{1}{2}$  (encontrada por Dirac [5]). Esta deja solo un estado para cualquier valor de espín. El Casimir tiene un valor propio negativo, donde:

$$C_2|(E_0 = 1, s)(E_0 = 1), s, m\rangle = -\frac{5}{4}|(E_0 = 1, s)(E_0 = 1), s, m\rangle \tag{136}$$

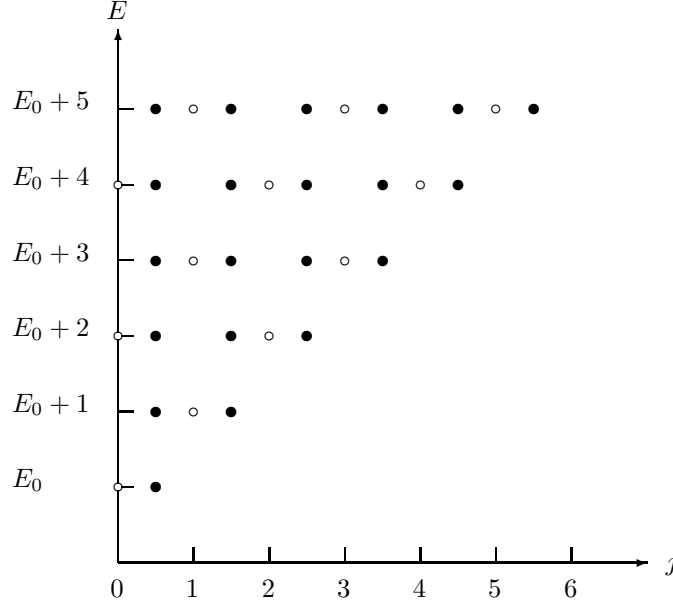


Figure 2: Estados de la representación  $s = \frac{1}{2}$ . El círculo pequeño denota el multiplete original  $s = 0$  desde el cual se ha construido el multiplete de espín- $\frac{1}{2}$ , tomando el producto directo.

- Para  $s = 0$  se procede como sigue:

$$M_{1+2i}^+ M_{1+2i}^+ |(E_0, 0) E_0, 0, 0\rangle = \sqrt{2E_0} M_{1+2i}^+ |(E_0, 0) E_0 + 1, 1, 1\rangle = R' \sqrt{2E_0} |(E_0, 0) E_0 + 2, 2, 2\rangle \quad (137)$$

Como se mostro anteriormente se calcula la norma a ambos lados de la ecuación, obteniendose:

$$|R'|^2 = 4(E_0 + 1) \quad (138)$$

Y considerando:

$$M_3^+ M_{1+2i}^+ |(E_0, 0) E_0, 0, 0\rangle = \sqrt{2E_0} (2\sqrt{E_0 + 1} \langle 1110|21\rangle |(E_0, 0) E_0 + 2, 2, 1\rangle + R'' \sqrt{2E_0} \langle 1110|11\rangle |(E_0, 0) E_0 + 2, 1, 1\rangle) \quad (139)$$

Usando  $\langle 1110|21\rangle = \langle 1110|11\rangle = 1/\sqrt{2}$  y las relaciones dadas por (116,117) al tomar la norma de (139), teniendo en cuenta la condición (120) al aplicar sobre un estado base, se tiene que:

$$(M_3^+ M_{1+2i}^+)^{\dagger} (M_3^+ M_{1+2i}^+) |(E_0, 0) E_0, 0, 0\rangle = 4(J_{45} + 1)(J_{45} + J_3) |(E_0, 0) E_0, 0, 0\rangle \quad (140)$$

Entonces:

$$4(E_0 + 1)(E_0 + (s = 0)) = 2E_0(2(E_0 + 1) + E_0 |R''|^2) \quad (141)$$

Por lo tanto  $R'' = 0$ , de aquí se obtiene que el estado con  $j = 1$  está ausente. Finalmente:

$$M_{1-2i}^+ M_{1+2i}^+ |(E_0, 0) E_0, 0, 0\rangle = \sqrt{2E_0} \{2\sqrt{E_0 + 1} \langle 111 - 1|20\rangle |(E_0, 0) E_0 + 2, 2, 0\rangle + R''' \langle 111 - 1|00\rangle |(E_0, 0) E_0 + 2, 0, 0\rangle\} \quad (142)$$

Sustituyendo los coeficientes de Clebsch-Gordan y tomando la norma, se obtiene:

$$|R'''|^2 = 4(E_0 - 1/2) \quad (143)$$

Donde:

$$E_0 \geq 1/2 \quad \text{para } s = 0 \quad (144)$$

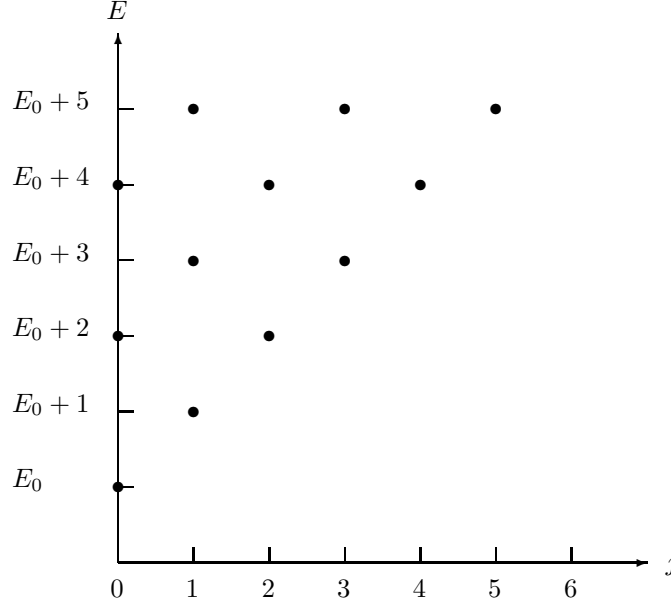


Figure 3: Estados de la representación  $s = 0$  en términos de  $(E, j)$ . Cada punto es  $(2j + 1)$ -veces degenerado.

En resumen: las condiciones dadas por (133), (135) y (144) son suficientes para garantizar la positividad de la norma en todos los sectores de altas energías  $\aleph_n$  con  $n \geq 2$ . Donde todas las representaciones son unívocamente caracterizadas por los números cuánticos  $E_0$  y  $s$  y se denotan como  $D(E_0, s)$ , con el siguiente análisis:

- El primer caso denota el estado de vacío con espín cero ( $s = 0$ ) y para un valor propio  $E$ , El estado de espín superior es dado por los productos simétricos con traza cero de operadores  $M_a^+$  sobre el estado base  $E = E_0$ . Estos estados se muestran en la figura Fig. (3.). Se puede notar que el diagrama para  $s = 0$  difiere del diagrama para espines superiores, dado el resultado  $R'' = 0$  en la ecuación (139).
- Para obtener el caso de espín- $\frac{1}{2}$  ( $s = \frac{1}{2}$ ) se toma los productos directos de estados con espín- $\frac{1}{2}$ . Esto implica que cualquier punto con espín  $j$  en la Fig. (3) genera dos puntos con espín  $j \pm \frac{1}{2}$ , con la excepción de los puntos asociados a  $j = 0$ , los cuales simplemente se mueven a  $j = \frac{1}{2}$ . Ver Fig. (2.)
- Continuando se puede tomar los productos directos con estados de espín-1 ( $s = 1$ ), pero la situación es más complicada ya que el multiplete resultante no siempre es irreducible. En principio, cada punto con espín  $j$  genera ahora tres puntos, asociados con  $j$  y  $j \pm 1$ , Con la excepción de los puntos  $j = 0$ , los cuales simplemente se mueven a  $j = 1$ . El resultado de este procedimiento se muestra en Fig. (1.)

Al hacer contracción teniendo en cuenta (101) y (102), se obtiene el primer invariante de Poincaré:

$$C_2^{3,1} \equiv \lim_{R_5 \rightarrow \infty} \frac{C_2}{R_5^2} = \lim_{R_5 \rightarrow \infty} (\Pi_4)^2 + \left( \lim_{R_5 \rightarrow \infty} \frac{1}{R_5^2} J^r J_r \rightarrow 0 \right) + \lim_{R_5 \rightarrow \infty} \frac{3}{2R_5^2} \{M_r^+, M_r^-\} = K_\mu K^\mu \quad (145)$$

Al tomar el límite de curvatura a cero en la representación  $(E_0, s)$  con:  $E_0 \rightarrow E_{0,R} \equiv E_0(R)$  se obtiene que:

$$\begin{aligned} K_\mu K^\mu |k, \lambda\rangle &= \lim_{R_5 \rightarrow \infty} \frac{C_2}{R_5^2} |(E_{0,R}, s) E_{0,R}, s, m\rangle = \lim_{R_5 \rightarrow \infty} \frac{E_{0,R}(E_{0,R} - 3) + s(s+1)}{R_5^2} |(E_{0,R}, s) E_{0,R}, s, m\rangle \\ &= \lim_{R_5 \rightarrow \infty} \frac{E_{0,R}(E_{0,R} - 3)}{R_5^2} |(E_{0,R}, s) E_{0,R}, s, m\rangle \end{aligned} \quad (146)$$

Usando  $E_{0,R} = k R_5$  en (146), siendo  $k = mc/\hbar$  ( $m \Rightarrow$  masa en reposo de la partícula), la contracción es dada como:

$$K_\mu K^\mu |k, \lambda\rangle = \lim_{R_5 \rightarrow \infty} \frac{E_{0,R}^2}{R_5^2} |(E_{0,R}, s) E_{0,R}, s, m\rangle = k^2 |k, \lambda\rangle \quad (147)$$

## 4 Supersimetría

Históricamente SUSY (supersimetría) fue introducido en la Teoría de la Matriz  $S$ . Donde una simetría de  $S$  tiene el efecto de reordenar los estados asintóticos singletes y multipletes. Una simetría de  $S$  en física de partículas puede significar:

- Invariancia de Poincaré: el producto semidirecto de traslaciones y rotaciones de Lorentz, con los respectivos generadores de grupo  $K_\mu$  y  $J_{\mu\nu}$
- Simetrías discretas: paridad  $P$ , inversión temporal  $T$ , y conjugación de la carga  $C$ .
- Simetrías internas globales, relacionadas a la conservación de números cuánticos, tales como: carga eléctrica e isospín. Los generadores de simetría  $B_i$  asociados son escalares de Lorentz y generan un álgebra de Lie, siendo  $U(1)_Y \times SU(2)_L \times SU(3)_C$  el grupo de simetría interna asociado al Modelo Standard, con un álgebra de Lie:

$$[B_i, B_j] = i c_{ij}^k B_k$$

$c_{ij}^k$  representa las constantes de estructura.

En 1967 Coleman y Mandula proporcionaron un argumento riguroso, el cual clasifica las posibles simetrías de la matriz  $S$  asumiendo que el álgebra de una simetría de  $S$  solo involucra conmutadores [9]. En 1971 Gol'fond y Likhtman mostraron que debilitando esta condición e involucrando generadores de simetría que anticonmutan era posible construir una simetría más grande, una supersimetría que incluye Poincaré y grupos de simetría interna de una forma no trivial. Con la particularidad que estos generadores de simetría que anticonmutan transforman como representaciones espinoriales del grupo de Lorentz y no como representaciones tensoriales, por esto SUSY no es una simetría interna. Luego se definió SUSY como una extensión del álgebra de  $P(3, 1)$  con generadores espinoriales que anticonmutan, y en 1975, Haag, Lopuszanski y Sohnius probaron que SUSY era la única simetría adicional de la Matrix  $S$  [10]. De aquí que está sea la única extensión posible de las simetrías del espacio-tiempo de la física de partículas: que al extender en la teoría de campos se obtiene  $(Q_a \Psi_\mu^a(X, \theta))$ :

- El 'espacio' es extendido adicionando unos nuevos parámetros de Grassmann,  $(X) \rightarrow (X, \theta)$ .
- El campo es reemplazado por un supercampo.

Donde los generadores de supersimetría están definidos de tal forma que transforma estados fermiónicos en bosónicos y estados bosónicos en fermiónicos, es decir:

$$Q|f\rangle = |b\rangle \quad Q|b\rangle = |f'\rangle$$

La importancia de SUSY radica en que soluciona problemas en la física más allá del Modelo Standard:

- Permite una unificación entre la Relatividad General y la Mecánica Cuántica.
- Predice Gravedad  $\Rightarrow$  posibilita la existencia de partículas sin masa con espín 2.
- Es una teoría finita  $\Rightarrow$  surgen cancelaciones entre las contribuciones fermiónicas y bosónicas.

Partiendo de un espacio-tiempo plano 4 - *Dim.* con un grupo de simetría asociado  $P(3, 1) = T_{3,1} \wedge SO(3, 1)$  y una métrica  $(+++-)$ , se muestra una  $N$ -extensión supersimétrica denotada como  ${}^S P(N|3, 1)$  y la clasificación de irreps asociadas. En particular  ${}^S P(N|3, 1)$  no permite generadores de espín  $\frac{3}{2}$ . Por otro lado supersimetría es consistente con una teoría de espín-2 si:

$$N \leq 8$$

Un análisis detallado de teorías de supergravedad se puede encontrar en: Zanelli [15], Tani [14] y Berenstein [12]. En esta sección se muestra parte del trabajo de R. Haase en sus lecturas [7], el cual se ha ampliado donde es necesario, ver también [11, 13, 16].

## 4.1 El Álgebra de SuperPoincaré 4-Dim $^S P(N|3, 1)$

Denotando los generadores de SUSY por  $Q$ s y sus correspondientes parámetros por  $\theta$ s (variables de grassmann), con  $\theta^i \theta^j = -\theta^j \theta^i$ . De acuerdo a la notación espinorial 4-Dim de Weyl, las  $N$  parejas de generadores de SUSY son escritos como:  $Q_{\alpha a}$  y  $\bar{Q}_{\dot{\beta} b} = (Q_{\beta b})^\dagger$  con  $(a, b = 1, \dots, N)$  y los índices espinoriales:  $(\alpha, \beta = 1, 2)$  y  $(\dot{\alpha}, \dot{\beta} = \dot{1}, \dot{2})$ . Los cuales se transforman bajo la acción del grupo de Lorentz, como: <sup>4</sup>

$$\Delta_- \equiv \left[\frac{1}{2}, \frac{1}{2}\right]_- = \left[\frac{1}{2} \times 0\right] \quad y \quad \Delta_+ \equiv \left[\frac{1}{2}, \frac{1}{2}\right]_+ = \left[0 \times \frac{1}{2}\right] \quad (148)$$

Esta transformación implica:

$$U_\Lambda Q_{\alpha a} U_\Lambda^{-1} = Q_{\alpha' a} \Delta_+(\Lambda)_{\alpha}^{\alpha'} \quad U_\Lambda \bar{Q}_{\dot{\beta} b} U_\Lambda^{-1} = \bar{Q}_{\dot{\beta}' b} \Delta_-(\Lambda)_{\dot{\beta}}^{\dot{\beta}'} \quad (149)$$

Los índices  $\alpha, \beta$  son ‘rotados’ por transformaciones de Lorentz. Considerando la forma más general de anticonmutación de los  $Q$ 's, estos se transforman como el producto Kronecker:

$$\Delta_+ \times \Delta_+ = \left[\frac{1}{2}, \frac{1}{2}\right]_+ \times \left[\frac{1}{2}, \frac{1}{2}\right]_+ = \left[0 \times \frac{1}{2}\right] \times \left[0 \times \frac{1}{2}\right] = [0 \times 0] + [0 \times 1] = [0] + [1^2]_+ \quad (150)$$

Por lo tanto:

$$\{Q_{\alpha a}, Q_{\beta b}\} = I \varepsilon_{\alpha\beta} Z_{ab} + A_i a_{\alpha\beta}^i Y_{ab} \quad (151)$$

con  $A_i = \frac{1}{2}(J_i + iB_i)$ , siendo  $Z_{ab}$  y  $Y_{ab}$  escalares complejos de Lorentz. Como  $[0]$  y  $[1]$  son las respectivas partes antisimétrica /simétrica del cuadrado kronecker de  $\Delta_+$ , la estructura espinorial de los dos términos sobre el lado derecho son antisimétricos/simétricos bajo el intercambio  $\alpha \rightarrow \beta$ , con  $Z_{ab}$  antisimétrico y  $Y_{ab}$  simétricos.

Similarmente para los adjuntos  $\bar{Q}_{\dot{\beta} b}$ :

$$\{\bar{Q}_{\dot{\alpha} a}, \bar{Q}_{\dot{\beta} b}\} = I \varepsilon_{\dot{\alpha}\dot{\beta}} \bar{Z}_{ab} + \bar{A}_i (\bar{a}_{\dot{\alpha}\dot{\beta}}^i) \bar{Y}_{ab} \quad (152)$$

Con  $\bar{A}_i \equiv \frac{1}{2}(J_i - iB_i)$ . Para obtener las relaciones de conmutación para  $A_i$  y  $Q_{\alpha a}$ , se debe tener en cuenta que estos se transforman bajo el grupo de Lorentz como:

$$[1^2]_+ \times \Delta_+ = [0 \times 1] \times [0 \times \frac{1}{2}] = [0 \times \frac{1}{2}] + [0 \times \frac{3}{2}] = \Delta_+ + [\Delta : 1^2]_+ \quad (153)$$

Por lo tanto la relación de conmutación toma la forma:

$$[A_i, Q_{\alpha a}] = Q_{\beta b} c_{i\alpha}^\beta X_a^b \quad (154)$$

Si  $Q_{\alpha a}$  son los únicos generadores fermiónicos y no son generadores de espín 3/2, se obtiene la identidad:

$$[[A_i, A_j], Q_{\alpha a}] + [[Q_{\alpha a}, A_i], A_j] + [[A_j, Q_{\alpha a}], A_i] = 0 \quad (155)$$

---

<sup>4</sup> Dado que la teoría de representación de  $SO(3)$  es conocida en la aplicación a la teoría del momento angular y al grupo de isospín. Este es útil para establecer un isomorfismo del álgebra de  $SO(3, 1)$  con  $SO(3) \times SO(3)$  para construir las propiedades de los irreps del grupo de Lorentz. Se obtiene que los irreps de dimensión finita del grupo de Lorentz es etiquetada por un par de enteros o semienteros  $\{j_1, j_2\}$  como  $[j_1 \times j_2]$ , con dimensión  $(2j_1 + 1)(2j_2 + 1)$ . Si  $j_1$  o  $j_2$  es de espín semientero son llamados espinoriales, de lo contrario son llamados tensoriales. Las representaciones básicas son caracterizadas por  $[\frac{1}{2} \times 0]$ ,  $[0 \times \frac{1}{2}]$  y cualquier representación espinorial y tensorial del grupo de Lorentz puede ser obtenida al ‘tensorizar’ y ‘simetrizar’ estos. Los conjugados complejos son identificados como  $[j_1 \times j_2]^* = [j_2 \times j_1]$ . La representación  $[j_1 \times j_2]$  puede ser llevado a la forma:

$$[j_1 \times j_2] \rightarrow [j_1 + j_2, |j_1 - j_2|]_{\pm}$$

El producto directo de irreps es determinado por 2 descomposiciones de Glebsch-Gordan.

$$[j_1 \times j_2] \times [j'_1 \times j'_2] = \sum_{j, j'} [(j_1 + j'_1 - j) \times (j_2 + j'_2 - j')] \quad \text{Con } j' = 0, 1, \dots, |j_2 - j_2| \quad j = 0, 1, \dots, |j_1 - j_1|$$

Usando (154) se tiene que  $[(c_i), (c_j)] = i(c_k)\epsilon_{ij}^k$  y  $X^2 = X$ . Esto significa que  $(c_i)$  forma una representación 2-Dim de un álgebra  $SO(3)$ . Una solución es dada por las matrices de Pauli  $\sigma_i$  con  $c_i = (1/2)\sigma_i$ . Por lo tanto:

$$\{[Q_{\alpha\alpha}, Q_{\beta\beta}], A_i\} - \{[Q_{\beta\beta}, A_i], Q_{\alpha\alpha}\} + \{[A_i, Q_{\alpha\alpha}], Q_{\beta\beta}\} = 0 \quad (156)$$

De forma similar a (154) se construyen los conmutadores de  $\bar{A}_i$  con  $\bar{Q}_{\dot{\alpha}a}$ :

$$[\bar{A}_i, \bar{Q}_{\dot{\alpha}a}] = \bar{Q}_{\dot{\beta}b} \bar{c}_{i\dot{\alpha}}^{\dot{\beta}} \bar{X}_a^b \quad (157)$$

Donde  $2\bar{c}_i = -2c_i^* = -\sigma_i^* = J\sigma_i J^{-1} = 2Jc_i J^{-1}$  y  $J = -i\sigma_2$ , se puede notar que  $J$  tiene un elemento matricial  $J_{\dot{\alpha}}^{\dot{\alpha}}$  e interviene las dos irreps básicos de espín.

Los conmutadores:  $[\bar{A}_i, Q_{\alpha\alpha}]$  y  $[A_i, \bar{Q}_{\dot{\alpha}a}]$  son cero, ya que no se consideran generadores de espín 3/2, donde:

$$[1^2]_- \times \Delta_+ = [1 \times 0] \times [0 \times \frac{1}{2}] = [1 \times \frac{1}{2}] = [\Delta : 1]_- \quad , \quad [1^2]_+ \times \Delta_- = [0 \times 1] \times [\frac{1}{2} \times 0] = [\frac{1}{2} \times 1] = [\Delta : 1]_+ \quad (158)$$

Continuando con los anticonmutadores de  $Q_{\alpha\alpha}$  y los adjuntos:

$$\{Q_{\alpha\alpha}, \bar{Q}_{\dot{\beta}b}\} = K_{\mu} a_{\alpha\dot{\beta}}^{\mu} \delta_{ab} \quad (159)$$

Notando que el lado izquierdo se transforma como:

$$\Delta_+ \times \Delta_- = [\frac{1}{2}, \frac{1}{2}]_+ \times [\frac{1}{2}, \frac{1}{2}]_- = [0 \times \frac{1}{2}] \times [\frac{1}{2} \times 0] = [\frac{1}{2} \times \frac{1}{2}] = [1] \quad (160)$$

bajo el grupo de Lorentz. Donde  $\{Q, \bar{Q}\}$  es un operador definido positivamente. Tal que el lado derecho de la ecuación (159) debe transformar como un 4-vector de Lorentz. El objeto más general que se puede construir que incluya  $K_{\mu}$ ,  $J_{\mu\nu}$  y  $B_i$  toma la forma  $K_{\mu} a_{\alpha\dot{\beta}}^{\mu} W_{ab}$ , con  $W_{ab}$  un escalar de Lorentz complejo. Tomando el adjunto del lado derecho de la ecuación (159) y usando  $(Q_{\alpha\alpha})^{\dagger} = \bar{Q}_{\dot{\alpha}a}$  requiere que  $(a_{\alpha\dot{\beta}}^{\mu})^* = a_{\beta\dot{\alpha}}^{\mu}$  y  $W_{ab}^{\dagger} = W_{ba}$ . Esto significa que podemos siempre escoger una base para los  $Q_{\alpha\alpha}$  con  $W_{ab}$  proporcional a  $\delta_{ab}$ .

Desarrollando la identidad de Jacobi para  $(Q, \bar{Q}, A)$ , se obtiene:

$$\begin{aligned} \{[Q_{\alpha\alpha}, \bar{Q}_{\dot{\beta}b}], A_i\} - \{[\bar{Q}_{\dot{\beta}b}, A_i], Q_{\alpha\alpha}\} + \{[A_i, Q_{\alpha\alpha}], \bar{Q}_{\dot{\beta}b}\} &= 0 \\ K_{\nu} (-c_{i\mu}^{\nu} a_{\alpha\dot{\beta}}^{\mu} \delta_{ab} + a_{\alpha\dot{\gamma}}^{\nu} \delta_{ac} \bar{c}_{i\dot{\beta}}^{\dot{\gamma}} X_b^c + a_{\gamma\dot{\beta}}^{\nu} \delta_{cb} c_{i\alpha}^{\gamma} X_a^c) &= 0 \\ K_{\nu} (-c_{i\mu}^{\nu} a_{\alpha\dot{\beta}}^{\mu} \delta_{ab} + a_{\alpha\dot{\gamma}}^{\nu} (Jc_i J^{-1})_{i\dot{\beta}}^{\dot{\gamma}} X_{ab} + a_{\gamma\dot{\beta}}^{\nu} c_{i\alpha}^{\gamma} X_{ba}) &= 0 \end{aligned} \quad (161)$$

Si  $X_{ab} = \delta_{ab} = X_{ba}$  se tiene que:

$$c_{i\mu}^{\nu} (a_{\alpha} J)_{\beta}^{\mu} - (a_{\alpha} J)_{\gamma}^{\nu} c_{i\beta}^{\gamma} = (a_{\gamma} J)_{\beta}^{\nu} c_{i\alpha}^{\gamma} \quad (162)$$

En forma matricial  $[c_i, a_{\alpha} J] = a_{\beta} J c_{i\alpha}^{\beta}$ . Con respecto a  $SO(3)$  las dos matrices  $a_{\alpha} J$  transforman como un 2-vector. Se puede tomar por lo tanto  $a_{\alpha\dot{\beta}}^{\mu} = 2\sigma_{\alpha\dot{\beta}}^{\mu}$ , donde el factor (2) es simplemente una convención. Adicionalmente se tiene que los generadores de supersimetría conmutan con los generadores de traslación:

$$[K_{\mu}, Q_{\alpha\alpha}] = 0 = [K_{\mu}, \bar{Q}_{\dot{\alpha}a}] \quad (163)$$

Siendo estos un invariante traslacional. Esto no es obvio dado que la forma más general consistente con la invariancia de Lorentz es determinada de las propiedades de transformación del lado izquierdo, donde el conmutador se transforma como:

$$[1] \times \Delta_+ = [1] \times [\frac{1}{2}, \frac{1}{2}]_+ = [\frac{1}{2} \times \frac{1}{2}] \times [0 \times \frac{1}{2}] = [\frac{1}{2} \times 0] + [\frac{1}{2} \times 1] = \Delta_- + [\Delta : 1]_+ \quad (164)$$

Por lo tanto:

$$[K_{\mu}, Q_{\alpha\alpha}] = \bar{Q}_{\dot{\beta}b} c_{\mu\alpha}^{\dot{\beta}} V_a^b \quad [K_{\mu}, \bar{Q}_{\dot{\alpha}a}] = Q_{\beta b} \bar{c}_{\mu\dot{\alpha}}^{\beta} \bar{V}_a^b \quad (165)$$

Donde  $V_a^b$  y  $\bar{V}_a^b$  son escalares de Lorentz complejos y  $\bar{c}_{\mu\dot{\alpha}}^\beta = -(c_{\mu\alpha}^\beta)^*$ . Se ha asumido que estos generadores de simetría no transforman como:  $[\Delta : 1]_+ = (\frac{1}{2}, 1)$  o  $[\Delta : 1]_- = (1, \frac{1}{2})$ . Se puede ver que todos los  $V_a^b$  desaparecen, el primer paso es usar la ecuación (165) en la identidad de Jacobi:

$$\begin{aligned} [[K_\mu, K_\nu], Q_{\alpha a}] + [[Q_{\alpha a}, K_\mu], K_\nu] + [[K_\nu, Q_{\alpha a}], K_\mu] &= 0 \\ Q_{\gamma c}(\bar{c}_{\nu\dot{\beta}}^\gamma c_{\mu\alpha}^\beta - \bar{c}_{\mu\dot{\beta}}^\gamma c_{\nu\alpha}^\beta)\bar{V}_b^c V_a^b &= 0 \\ Q_{\gamma c}(\bar{c}_{\mu\dot{\beta}}^\gamma c_{\nu\alpha}^\beta - \bar{c}_{\nu\dot{\beta}}^\gamma c_{\mu\alpha}^\beta)(\bar{V}\cdot V)_a^c &= 0 \end{aligned} \quad (166)$$

Al tomar la contracción con  $\epsilon^{\alpha\beta}$  se obtiene que  $\bar{V}V = 0$ . Se puede obtener más información considerando:

$$\{\{Q_{\alpha a}, Q_{\beta b}\}, K_\mu\} + \{\{K_\mu, Q_{\alpha a}\}, Q_{\beta b}\} - \{\{Q_{\beta b}, K_\mu\}, Q_{\alpha a}\} = 0 \quad (167)$$

$$K_\nu c_{i\mu}^\nu a_{\alpha\beta}^i Y_{ab} - K_\nu a_{\beta\gamma}^\nu c_{\mu\alpha}^\gamma \delta_{bc} V_a^c - K_\nu a_{\alpha\gamma}^\nu c_{\mu\beta}^\gamma \delta_{ac} V_b^c = 0 \quad (168)$$

Al tomar contracción con  $\epsilon^{\alpha\beta}$ , esto se reduce a:

$$K_\nu \epsilon^{\alpha\beta} a_{\alpha\gamma}^\nu c_{\mu\beta}^\gamma (V_{ba} - V_{ab}) = 0 \quad (169)$$

Por lo tanto  $V_{ab}$  es simétrico y teniendo en cuenta que  $\bar{V}V = 0$  implica que  $V_a^b = 0$ , obteniéndose la ecuación (163). De la ecuación (168) se establece la parte simétrica de la identidad de Jacobi dada por la ecuación (167). Esto implica que  $K_\nu f^\nu Y_{ab} = 0$ , lo cual es cierto si  $Y_{ab} = 0$ , entonces en (151) obtenemos:

$$\{Q_{\alpha a}, Q_{\beta b}\} = I\epsilon_{\alpha\beta} Z_{ab} \quad (170)$$

El escalar complejo de Lorentz  $Z_{ab}$  es llamado *la carga central*, manipulando la identidad de Jacobi se puede mostrar que  $Z_{ab}$  conmuta con los generadores  $Q_{\alpha a}\bar{Q}_{\dot{\alpha}a}$ :

$$\begin{aligned} \{\{Q_{\alpha a}, \bar{Q}_{\beta b}\}, Q_{\gamma c}\} + \{\{Q_{\beta b}, Q_{\gamma c}\}, Q_{\alpha a}\} + \{\{Q_{\gamma c}, Q_{\alpha a}\}, Q_{\beta b}\} &= 0 \\ \epsilon_{\alpha\beta}[Z_{ab}, Q_{\gamma c}] + \epsilon_{\beta\gamma}[Z_{bc}, Q_{\alpha a}] + \epsilon_{\gamma\alpha}[Z_{ca}, Q_{\beta b}] &= 0 \\ \epsilon_{\alpha\beta}Q_{\gamma d}c_{abc}^d + \epsilon_{\beta\gamma}Q_{\alpha d}c_{bca}^d + \epsilon_{\gamma\alpha}Q_{\beta d}c_{cab}^d &= 0 \\ Q_{\gamma d}(-2c_{abc}^d + c_{bca}^d + c_{cab}^d) &= 0 \end{aligned} \quad (171)$$

Donde  $c_{abc}^d = 0$ , dado que:  $c_{bca}^d = c_{abc}^d$  y  $c_{cab}^d = c_{abc}^d = -c_{bac}^d$ . Esto implica que  $[Z_{cd}, Q_{\alpha a}] = 0$ . Ahora tomando la siguiente identidad de Jacobi:

$$\begin{aligned} \{\{Q_{\alpha a}, Q_{\beta b}\}, Z_{cd}\} - \{\{Q_{\beta b}, Z_{cd}\}, Q_{\alpha a}\} + \{\{Z_{cd}, Q_{\alpha a}\}, Q_{\beta b}\} &= 0 \\ [Z_{ab}, Z_{cd}]\epsilon_{\alpha\beta} + \{Q_{\beta e}, Q_{\alpha a}\}c_{cdb}^e + \{Q_{\alpha f}, Q_{\beta b}\}c_{cda}^f &= 0 \\ [Z_{ab}, Z_{cd}]\epsilon_{\alpha\beta} + Z_{ea}\epsilon_{\beta\alpha}c_{cdb}^e + Z_{fb}\epsilon_{\alpha\beta}c_{cda}^f &= 0 \\ -Z_{ae}c_{cdb}^e + Z_{bf}c_{cda}^f &= [Z_{ab}, Z_{cd}] \end{aligned} \quad (172)$$

se obtiene que:  $[Z_{ab}, Z_{cd}] = 0$ . Se puede ver que la carga central genera una subálgebra invariante abeliana del álgebra de Lie compacta (isomorfa a  $[U(1)]^p$ , con  $p = \text{número cargas centrales independientes}$ ) generada por el hermitiano  $B_i$ . Por lo tanto podemos escribir  $Z_{ab} = B_i b_{ab}^i$ , con la constante de estructura  $c_{ia}^b$  definida por:

$$[B_i, Q_{\alpha a}] = Q_{\alpha b} c_{ia}^b, \quad [B_i, \bar{Q}_{\dot{\alpha}a}] = -\bar{Q}_{\dot{\alpha}b} (c_{ia}^b)^*, \quad (173)$$

El coeficiente complejo  $b_{ab}^i$  obedece la siguiente relación:

$$c_{ia}^c b_{bc}^i = b_{ac}^i (c_{ib}^c)^* = 0 \quad (174)$$

Si se considera el conmutador de  $J_{\mu\nu}$  con  $Q_{\alpha a}$  y  $\bar{Q}_{\dot{\alpha}a}$ , estos pueden ser de la forma:

$$[J_{\mu\nu}, Q_{\alpha a}] = Q_{\beta b} c_{\mu\nu\alpha}^\beta X_a^b, \quad [J_{\mu\nu}, \bar{Q}_{\dot{\alpha}a}] = \bar{Q}_{\dot{\beta}b} \bar{c}_{\mu\nu\dot{\alpha}}^{\dot{\beta}} \bar{X}_a^b \quad (175)$$

dado que los conmutadores se deben transformar como:

$$\begin{aligned} ([1_+^2] + [1_-^2]) \times \Delta_+ &= ([0 \times 1] + [1 \times 0]) \times ([0 \times \frac{1}{2}]) = [0 \times \frac{3}{2}] + [0 \times \frac{1}{2}] + [1 \times \frac{1}{2}] + [0 \times \frac{1}{2}] \quad (176) \\ &= \Delta_+ + [\Delta : 1]_- + [\Delta : 1^2]_+ \end{aligned}$$

$$\begin{aligned} ([1_+^2] + [1_-^2]) \times \Delta_- &= ([0 \times 1] + [1 \times 0]) \times ([\frac{1}{2} \times 0]) = [\frac{3}{2} \times 0] + [\frac{1}{2} \times 0] + [\frac{1}{2} \times 1] + [\frac{1}{2} \times 0] \\ &= \Delta_- + [\Delta : 1]_+ + [\Delta : 1^2]_- \quad (177) \end{aligned}$$

Las constantes de estructura  $(c_{\mu\nu})_\alpha^\beta$  y  $(\bar{c}_{\mu\nu})_{\dot{\alpha}}^{\dot{\beta}}$  son elementos matriciales de la representación 2-Dim del álgebra del grupo de Lorentz, relacionadas con  $J$  como  $\bar{c}_{\mu\nu} = Jc_{\mu\nu}J^{-1}$ . Las cuales pueden ser como  $c_{\mu\nu} \sim \sigma_{\mu\nu} \equiv \frac{1}{2i}[\gamma_\mu, \gamma_\nu]$  ( $\gamma_\mu \Rightarrow$  las matrices de Dirac), lo que resulta en transformaciones de la forma  $\Delta \equiv \Delta_+ + \Delta_-$ . En resumen:

$$\{Q_{\alpha a}, Q_{\beta a}\} = I\epsilon_{\alpha\beta}Z_{ab}, \quad \{Q_{\alpha a}, \bar{Q}_{\dot{\beta} b}\} = K_\mu a_\alpha^\mu \delta_{ab} \quad (178)$$

$$[K_\mu, Q_{\alpha a}] = 0 = [K_\mu, \bar{Q}_{\dot{\alpha} a}] \quad [J_{\mu\nu}, Q_{\alpha a}] = Q_{\beta b} c_{\mu\nu\alpha}^\beta X_a^b \quad [J_{\mu\nu}, \bar{Q}_{\dot{\alpha} a}] = \bar{Q}_{\dot{\beta} b} \bar{c}_{\mu\nu\dot{\alpha}}^{\dot{\beta}} \bar{X}_a^b \quad (179)$$

Ahora bien ampliando el grupo de Poincaré a un grupo que contenga además generadores supersimétricos  $\{Q_{\alpha a}, \bar{Q}_{\dot{\alpha} a}\}$  y otros generadores de simetría interna. Los cuales cumplen las anteriores relaciones de conmutación y anticonmutación, obtenemos un grupo ‘supersimétrico’. [7]

#### 4.1.1 El Álgebra Supersimétrica 4-Dim (N=1)

Para  $N = 1$  la carga central  $Z_{ab}$  desaparece por antisimetría, y los coeficientes  $c_{i1}^1 \equiv c_i$  son reales. La identidad de Jacobi para  $[[Q, B], B]$  nos conlleva a ver que la constante de estructura  $c_{i\mu}^k$  desaparece, tal que el álgebra de la simetría interna es abeliana, entonces:

$$[Q_\alpha, B_i] = Q_\alpha c_i \quad [\bar{Q}_{\dot{\alpha}}, B_i] = -\bar{Q}_{\dot{\alpha}} c_i \quad \text{re-escalando } B_i \Rightarrow [Q_\alpha, B_i] = Q_\alpha \quad [\bar{Q}_{\dot{\alpha}}, B_i] = -\bar{Q}_{\dot{\alpha}} \quad (180)$$

Claramente solo una combinación independiente de los generadores abelianos ha de tener conmutadores distintos de cero con  $Q_\alpha$  y  $\bar{Q}_{\dot{\alpha}}$ , por lo tanto se denota este generador de  $U(1)$  por  $R$ , donde:

$$[Q_\alpha, R] = Q_\alpha \quad [\bar{Q}_{\dot{\alpha}}, R] = -\bar{Q}_{\dot{\alpha}} \quad (181)$$

Esta álgebra SUSY  $N = 1$  en general posee una simetría interna (global)  $U(1)$  conocida como *Simetría R*. Se puede notar que los generadores de SUSY tienen una R-carga +1 y -1 respectivamente.

## 4.2 Casimir SUSY

Dado que las irreps de SUSY pueden ser caracterizadas por un conjunto de observables que mutuamente conmutan, se necesita mostrar los operadores Casimir, esto es suficiente para el álgebra SUSY con N generadores.

Al construir las representaciones del grupo de Poincaré, estas son rotuladas por los Casimir:

- $K.K = K^\mu K_\mu$ , con valores propios  $k^2 \Rightarrow (k = mc/\hbar, m \rightarrow$  la masa de la partícula).
- $W.W = W^\mu W_\mu$  con  $W_\mu$  el vector de Pauli-Lubanski  $\Rightarrow$ (operador de espín generalizado), definido en (94):
  - Estados Masivos:  $W.W$  tiene valores propios  $k^2 s(s+1)$  con  $s = 0, 1/2, 1, \dots$
  - Estados No Masivos: ( $k = 0$ ) se tiene que  $(K.K = 0)$  y  $(W.W = 0)$ , cuya solución en la base de momento es dada como: <sup>5</sup>

$$W_\mu \equiv \lambda K_\mu \quad \lambda \rightarrow \text{la helicidad.} \quad (182)$$

<sup>5</sup>Para estados no masivos es posible obtener estados en una base standard  $k^\mu = (k, 0, 0, k)$ , donde:

$$W^\mu = k( J_{12}, (J_{23} - J_{02}), (J_{31} + J_{01}), J_{12} ) \quad \text{con } \mu = 0, \dots, 3$$

Con

$$[W^1, W^2] = 0, \quad [J_3, W^1] = iW^2, \quad [J_3, W^2] = -iW^1, \quad \text{con } J_3 = J_{12} = W_0/k$$

En general se tiene que:

$$[W_\mu, K_\nu] = 0 \quad W.K = 0 \quad W_0 = (J.K)_0 \quad (183)$$

En el caso de un álgebra SuperPoincaré, el operador  $K^\mu K_\mu$  (cuadrado de la masa) es un Casimir, donde los estados supermultipletes poseen la misma masa. Sin embargo  $W.W$  ya no es un Casimir, dado que los supermultipletes contienen estados con diferentes ‘espines’ rotulados por los valores propios de  $W.W$ , donde:

$$[W_\mu, Q_{\alpha a}] = \frac{1}{2} \epsilon^{\mu\sigma\nu\rho} K_\sigma [J_{\nu\rho}, Q_{\alpha a}] = \frac{1}{2} \epsilon^{\mu\sigma\nu\rho} K_\sigma Q_{\beta b} c_{\nu\rho\alpha}^\beta X_a^b = K_\sigma Q_{\beta b} \tilde{c}_\beta^{\mu\sigma\alpha} X_a^b \neq 0 \quad (184)$$

Esto muestra que  $J^{\mu\nu}$  no conmuta con  $Q$  y  $\bar{Q}$ , lo que explica porqué  $W.W$  no puede ser un Casimir. Se tiene entonces que los nuevos Casimir para SUSY son  $K.K$  y  $C : C$ . Se introduce entonces un operador vectorial  $N_\mu$ :

$$N_\mu \equiv \bar{Q}_{\dot{\alpha}} Q_\beta \bar{a}_\mu^{\dot{\alpha}\beta} \quad (185)$$

Donde

$$C : C \equiv \frac{1}{2} C_{\mu\nu} C^{\mu\nu}, \quad C_{\mu\nu} \equiv B_\mu K_\nu - B_\nu K_\mu, \quad B_\mu \equiv W_\mu - \frac{1}{4} N_\mu \equiv W_\mu - \frac{1}{4} \bar{Q}_{\dot{\alpha}} Q_\beta \bar{a}_\mu^{\dot{\alpha}\beta} \quad (186)$$

Con  $a_\mu^{\dot{\alpha}\beta} \sim a_{\dot{\alpha}\beta}^\mu$ . Usando (179) y (183) se puede comprobar de forma inmediata que  $B_\mu$  cumple:

$$[B_\mu, K_\nu] = [W_\mu - \frac{1}{4} \bar{Q}_{\dot{\alpha}} Q_\beta \bar{a}_\mu^{\dot{\alpha}\beta}, K_\nu] = [W_\mu, K_\nu] - [\frac{1}{4} \bar{Q}_{\dot{\alpha}} Q_\beta \bar{a}_\mu^{\dot{\alpha}\beta}, K_\nu] = 0 \quad (187)$$

Usando la identidad  $[AB, C] = A\{B, C\} - \{A, C\}B$ . Se verifica que:

$$[\bar{Q}_{\dot{\beta}} Q_\gamma a_\mu^{\dot{\beta}\gamma}, Q_\alpha] = \bar{Q}_{\dot{\beta}} a_\mu^{\dot{\beta}\gamma} \{Q_\gamma, Q_\alpha\} - \{\bar{Q}_{\dot{\beta}}, Q_\alpha\} Q_\gamma a_\mu^{\dot{\beta}\gamma} = -2K_\mu Q_\alpha + 4iK_\nu Q_\beta b_{\mu\alpha}^{\nu\beta} \quad (188)$$

De los conmutadores (184) y (188) se tiene que:

$$[B_\mu, Q_\alpha] = [W_\mu, Q_\alpha] - \frac{1}{4} [\bar{Q}_{\dot{\nu}} Q_\beta \bar{a}_\mu^{\dot{\nu}\beta}, Q_\alpha] = \frac{1}{2} K_\mu Q_\alpha \quad (189)$$

$$B_\mu K^\mu = \frac{1}{4} N_\mu K^\mu \quad (190)$$

Esto implica:

$$[C_{\mu\nu}, Q_\alpha] = [B_\mu, Q_\alpha] K_\nu - [B_\nu, Q_\alpha] K_\mu = 0 \quad (191)$$

Tomando C:C obtenemos:

$$C : C = (B.B)(K.K) - (B.K)^2 \quad (192)$$

- Para estados masivos ( $m \neq 0$ ). ( $C : C$ ) define un número cuántico de superspín  $\chi$ .

$$[C : C] |m, \chi\rangle = [(B.B) - \frac{1}{K^2} (B.K)^2] |m, \chi\rangle \equiv m^2 \chi(\chi + 1) |m, \chi\rangle \quad (193)$$

- Para estados no masivos se sigue que:

$$K_\mu a^{\mu\dot{\alpha}\alpha} Q_{\alpha a} = K_\mu a^{\mu\alpha\dot{\alpha}} \bar{Q}_{\dot{\alpha}}^a = 0 \quad (194)$$

Lo que se reduce a  $Q_{1a} = \bar{Q}_{1a} = 0$  en la base standard considerada con anterioridad.

El álgebra de estos generadores es  $SO(2) \otimes T_2$ . Se puede obtener un espectro discreto de estados propios de momento tomando  $W_1 = W_2 = 0$ , donde los valores propios semienteros  $\lambda$  de  $J_3$  introducen los números cuánticos discretos de helicidad y etiquetan los estados propios de momento. Entonces se obtiene:

$$W_0 |k, \lambda\rangle = \lambda k_0 |k, \lambda\rangle, \quad W_1 |k, \lambda\rangle = W_2 |k, \lambda\rangle = 0, \quad W_3 |k, \lambda\rangle = \lambda k_3 |k, \lambda\rangle$$

De manera compacta.

$$W_\mu |k, \lambda \dots\rangle = \lambda k_\mu |k, \lambda \dots\rangle \quad o \quad W_\mu = \lambda K_\mu \quad \Rightarrow \quad W.W = 0$$

De (189) y (184) se sigue que:

$$[W_\mu, Q_\alpha] = -\frac{1}{2}K_\mu Q_\alpha \quad [N_\mu, Q_\alpha] = 4K_\mu Q_\alpha \quad [B_\mu, Q_\alpha] = \frac{1}{2}K_\mu Q_\alpha \quad (195)$$

Para una base standard se encuentra que  $N_1 = N_2 = 0$  y  $N_\mu N^\mu = 0$ . Entonces se puede encontrar una representación en la cual  $W_1, W_2$  aniquila los estados (discretos) de números cuánticos de superhelicidad. Obteniendo por lo tanto la siguiente relación:

$$B_\mu + \frac{1}{2}RK_\mu = -\lambda K_\mu \quad (196)$$

Donde

$$[RK_\mu, Q_\alpha] = -K_\mu Q_\alpha \quad (197)$$

De igual forma se obtiene que  $[R + (1/2K^2)(N.K)]$  conmuta con  $Q$  y  $\bar{Q}$ . lo que define una carga superquiral en el caso masivo. Para el caso no masivo se sigue de (195) que:

$$\left[ (RK_\mu + \frac{1}{4}N_\mu), Q \right] = 0 \quad (198)$$

Por lo tanto se puede escribir  $RK_\mu + \frac{1}{4}N_\mu = g_5 K_\mu$

### 4.3 Clasificación de Irreps SUSY Sobre Estados Singletes de Partículas

Todas las posibles irreps de SUSY se pueden construir sobre estados físicos que son clasificados en la base de valores propios de  $|k\rangle$  con ( $k^2 \geq 0$ ) y ( $k = mc/\hbar$ ), si ( $m \neq 0$ )  $\Rightarrow$  la masa de la partícula.

- Si  $K.K|k\rangle = k^2|k\rangle \Rightarrow$  se considera la base standard  $k_\mu = (k, 0, 0, 0)$
- Si  $K.K|k\rangle = 0 \Rightarrow$  se considera la base standard  $k_\mu = (k, 0, 0, k)$

Por lo tanto los estados masivos y no-masivos son tratados por separado. Cabe recordar que para el caso de la simetría de Poincaré, no se considera los tachyones ( $k^2$  negativo), dado que  $\{Q, \bar{Q}\}$  es definitivamente positivo.

#### 4.3.1 Estados No-Masivos SUSY N.

Se considera ahora una representación no-masiva correspondiente a  $K.K = 0$ . El álgebra SUSY en una base standard  $k_\mu = (k, 0, 0, k)$  se reduce a:

$$\{Q_\alpha^i, Q_\beta^j\}|k_\mu\rangle = \{\bar{Q}_\alpha^i, \bar{Q}_\beta^j\}|k_\mu\rangle = 0 \quad (199)$$

y

$$\{Q_\alpha^i, \bar{Q}_\beta^j\}|k_\mu\rangle = 2k\delta^{ij}(\sigma_0 + \sigma_3)_{\alpha\beta}|k_\mu\rangle \Rightarrow \{Q_2^i \bar{Q}_2^j + \bar{Q}_2^j Q_2^i\}|k_\mu\rangle = 0 \quad (200)$$

Por lo tanto  $Q_2^i, \bar{Q}_2^i$  mutuamente anticonmutan y actúan como un operador nulo ( $Q_2^i = \bar{Q}_2^i = 0$ ) en la representación de estados. Se obtiene que los generadores  $Q_1^i, \bar{Q}_1^i$  generan un álgebra de Clifford con  $N$  grados de libertad fermiónicos:

$$\{Q_1^i, \bar{Q}_1^j\} = \delta^{ij} \quad \{Q_1^i, Q_1^j\} = \{\bar{Q}_1^i, \bar{Q}_1^j\} = 0 \quad (201)$$

Reescalando

$$\bar{a}^i = \frac{1}{2\sqrt{k}}Q_1^i \quad a^i = -\frac{1}{2\sqrt{k}}\bar{Q}_1^i \quad (202)$$

Donde  $[W_3, a_\alpha^i] = -\frac{1}{2}(\sigma_3 a^i)_\alpha$ ,  $[W_3, \bar{a}^{\dot{\alpha}i}] = -\frac{1}{2}(\sigma_3 \bar{a}^{\dot{\alpha}i})^{\dot{\alpha}}$ , se obtiene entonces:

$$W_3 a^i = a^i(W_3 - \frac{1}{2}) \quad W_3 \bar{a}^i = \bar{a}^i(W_3 + \frac{1}{2}) \quad (203)$$

Una representación del álgebra SUSY es caracterizada por un estado base de Clifford, etiquetado por la base de tetramomento  $k$  y la helicidad  $\lambda$ . Mostrando que todos los generadores  $a^i$  ‘bajan’ la helicidad por  $1/2$  y todos los  $\bar{a}^i$  lo ‘levantan’. Los generadores del álgebra ‘menor’ relevantes en la física son  $\{W_3, a^i, \bar{a}^i\}$  junto con los generadores de simetría interna. Tomando el estado  $|\lambda_0\rangle$  con el número máximo de helicidad  $\lambda_0 > 0$  en un supermultiplete, este satisface:

$$\bar{a}^i |\lambda_0\rangle = 0 \quad i = 1, 2, \dots, N \quad (204)$$

Se ha suprimido  $k$ . Entonces se puede construir la siguiente cadena de estados hacia abajo al aplicar los  $a^i$ 's

$$|\lambda_0\rangle, |\lambda_0 - 1/2, i_1\rangle, \dots, |\lambda_0 - l/2, i_1, \dots, i_l\rangle, |\lambda_0 - N/2, i_1, \dots, i_N\rangle \quad (205)$$

Con

$$\lambda_{min} = \lambda_0 - N/2 \quad \lambda_{max} = \lambda_0 \quad \Rightarrow \delta\lambda = \lambda_{max} - \lambda_{min} = N/2 \quad (206)$$

Donde la multiplicidad de un estado  $|\lambda_0 - l/2, i_1, \dots, i_l\rangle = a^{i_1} \dots a^{i_l} |\lambda_0\rangle$  es dada por:

$$\binom{N}{l} \quad \text{con } 0 \leq l \leq N \quad (207)$$

Este es completamente antisimétrico en las etiquetas  $(i_1, \dots, i_l)$ , dado que los  $a$ 's son antisimétricos. En general una teoría cuántica de Lorentz covariante es invariante CPT, esto implica que cualquier estado con helicidad  $(\lambda)$  puede ser similar a un estado con helicidad  $(-\lambda)$ , el cual satisface:

$$a^i |-\lambda_0\rangle = 0 \quad (208)$$

Luego, es posible obtener la siguiente cadena de estados.

$$|-\lambda_0\rangle, |-\lambda_0 + 1/2, i_1\rangle, \dots, |-\lambda_0 + l/2, i_1, \dots, i_l\rangle, |-\lambda_0 + N/2, i_1, \dots, i_N\rangle \quad (209)$$

Donde el estado  $|-\lambda_0 + l/2, i_1, \dots, i_l\rangle = \bar{a}^{i_1} \dots \bar{a}^{i_l} |-\lambda_0\rangle$  tiene una multiplicidad dada por (207). La consistencia de esto requiere que:

$$-\lambda_0 + N/2 \leq \lambda_0 \quad \text{o} \quad N \leq 4\lambda_0 \quad (210)$$

El supermultiplete CPT auto-conjugado es obtenido cuando  $N = 4\lambda_0$ , por lo tanto las dos cadenas coinciden. Donde la multiplicidad total en este caso es:

$$\sum_{l=0}^N \binom{N}{l} = (1+1)^N = 2^N$$

con  $2^{N-1}$  estados bosónicos y  $2^{N-1}$  estados fermiónicos. Un multiplete de supergravedad con un gravitón (y  $N$  gravitinos de espín  $3/2$ ) puede ser construido para  $N \leq 8$ , donde los supermultipletes con  $N = 8, \lambda_0 = 2$  y  $N = 4, \lambda_0 = 1$  son autoconjugados:

$N = 8$ (Supergravedad) $\lambda_0 = 2$										Total	
Helicidad		-2	-3/2	-1	-1/2	0	1/2	1	3/2	2	
Estados		1	8	28	56	70	56	28	8	1	= 256

$N = 4$ (Teorías de Yang-Mills) $\lambda_0 = 1$							Total
Helicidad			-1	-1/2	0	1/2	1
Estados			1	4	6	4	1 = 16

Para el caso  $N = 7$ , el supermultiplete  $\lambda_0 = 2$  tiene el mismo contenido de partícula que  $N = 8, \lambda_0 = 2$ . Lo mismo es cierto para los supermultipletes  $N = 4, \lambda_0 = 1$  y  $N = 3, \lambda_0 = 1$ . Para el caso de espín  $3/2$  se tienen acoplamientos no renormalizables, por lo tanto se requiere que  $N \leq 4, \lambda_0 \leq 1$  para teorías renormalizables.

Si se parte de una teoría de campos consistente con estados de helicidad menor o igual a 2 (gravitones), entonces es necesario que  $N \leq 8$ . Para  $N \geq 9$  se encuentra una helicidad  $5/2$  y superiores, lo cual no es consistente con esto. Además habría más de un estado con helicidad 2 (gravitones). Este requerimiento físico conlleva a un máximo de 8 generadores supersimétricos independientes.

### 4.3.2 Ejemplo: Estados No-Masivos SUSY N=1.

Para estados no-masivos ( $K.K = 0$ ) desde la base de referencia  $k_\mu \equiv (k, 0, 0, k)$ , tenemos que:

$$C : C|k_\mu\rangle = -2k^2(B_0 - B_3)^2|k_\mu\rangle = -\frac{1}{2}k^2\bar{Q}_2Q_2\bar{Q}_2Q_2|k_\mu\rangle = 0 \quad (211)$$

Teniendo en cuenta (200), obtenemos:

$$\{Q_1, \bar{Q}_1\}|k_\mu\rangle = 4k|k_\mu\rangle \quad \{Q_2, \bar{Q}_2\}|k_\mu\rangle = 0 \quad (212)$$

Para definir el estado de vacio  $|\Omega\rangle$  se debe tener en cuenta de las ecuaciones (211,212) que el operador de creación  $\bar{Q}_2$  construye estados de norma cero

$$\langle\Omega|Q_2\bar{Q}_2|\Omega\rangle = 0 \quad (213)$$

Esto significa que se puede tomar el conjunto  $\bar{Q}_2$  igual a cero en el sentido de operador, como se mencionó antes en (4.1) . Por lo tanto solo queda un par de operadores creación y destrucción, como en (202):

$$a = \frac{1}{2\sqrt{k}}Q_1, \quad a^\dagger = \frac{1}{2\sqrt{k}}\bar{Q}_1 \quad (214)$$

Con  $|\Omega\rangle$  no degenerado y con una helicidad definida  $\lambda_0$ . El operador de creación  $a^\dagger$  transforma como  $\Delta_+ \equiv (0, \frac{1}{2})$  bajo el grupo de Lorentz, es decir incrementa la helicidad por  $\frac{1}{2}$ . Las irreps no-masivas de SUSY (N=1) contienen cada una (2) estados.

$$|\Omega\rangle \quad \text{helicidad } \lambda_0 \quad (215)$$

$$a|\Omega\rangle \quad \text{helicidad } \lambda_0 - \frac{1}{2} \quad (216)$$

Sin embargo este no es un estado propio CPT en general, se requiere tener por lo menos (2) irreps no-masivos SUSY para obtener los (4) estados con helicidad  $\{-\lambda_0, -(\lambda_0 - \frac{1}{2}), \lambda_0 - \frac{1}{2}, \lambda_0\}$ . Por ejemplo, para  $N = 1$  con 4 estados de helicidad se obtiene:

<hr/>				
Supermultiplete Quiral	$\lambda_0 = 1/2$			
Helicidad	$-1/2$	0	$1/2$	
Estados	1	1 + 1	1	
<hr/>				
$2(S = 0) + (S = 1/2)$				
<hr/>				
Supermultiplete Gauge	$\lambda_0 = 1$			
Helicidad	$-1$	$-1/2$	$1/2$	1
Estados	1	1	1	1
<hr/>				
$(S = 1) + (S = 1/2)$				
<hr/>				
Multiplete de supergravedad simple	$\lambda_0 = 2$			
Helicidad	$-2$	$-3/2$	$3/2$	2
Estados	1	1	1	1
<hr/>				
$(S = 2) + (S = 3/2)$				
<hr/>				

Para  $\lambda_0 = 3/2$  se obtiene un contenido de partícula con  $(S = 3/2) + (S = 1)$ .

### 4.3.3 Estados Masivos SUSY N.

Para la representación masiva ( $m \neq 0$ ), el álgebra SUSY en el sistema de reposo  $k_\mu = (k, 0, 0, 0)$ , toma la forma:

$$\{Q_\alpha^i, \bar{Q}_\beta^j\} = 2k\delta_{\alpha\beta}\delta_{ij} \quad \{Q_\alpha^i, Q_\beta^j\} = \{\bar{Q}_\alpha^i, \bar{Q}_\beta^j\} = 0 \quad \text{con } i, j = 1, \dots, N \quad (217)$$

Reescalando se puede tener:

$$a_\alpha^i = \frac{Q_\alpha^i}{\sqrt{2k}} \quad (a_\alpha^i)^\dagger = \frac{\bar{Q}_\alpha^i}{\sqrt{2k}} \quad (218)$$

Los cuales satisfacen el álgebra de Clifford en 2N dim. Los estados de la representación pueden ser ordenados en multipletes de espín de algún estado base (o vacío)  $|\Omega\rangle$  de algún espín dado, aniquilado por los operadores  $a_\alpha^i$ . los otros estados de la representación son dados como:

$$|a_{\alpha_1}^{i_1} \dots a_{\alpha_N}^{i_N}\rangle = (a_{\alpha_1}^{i_1})^\dagger \dots (a_{\alpha_N}^{i_N})^\dagger |\Omega\rangle \quad (219)$$

El estado base  $|\Omega\rangle$  tiene espín  $s$ , el estado de espín maximal tiene espín  $s + N/2$  y el estado de espín minimal tiene:

- Si  $s \geq N/2 \Rightarrow$  espín  $s - N/2$
- Si  $s < N/2 \Rightarrow$  espín  $0$

Cuando el estado base  $|\Omega\rangle$  tiene espín 0, el número total de estados es igual a  $2^{2N}$  con  $2^{2N-1}$  estados fermiónicos (construidos con un número impar de operadores  $(a_\alpha^i)^\dagger$ ) y  $2^{2N-1}$  estados bosónicos (construidos con un número impar de operadores  $(a_\alpha^i)^\dagger$ ). El espín maximal es  $N/2$  y el espín minimal es 0.

Como se ilustra en la sgte sección para el caso SUSY N=1, el estado base  $|\Omega\rangle$  tiene spín  $j$ , los estados multiplete tienen espín  $(j, j + 1/2, j - 1/2, j)$ , donde el estado base  $|\Omega\rangle$  tiene espín 0, el supermultiplete tiene 2 estados de espín 0 y 1 estado de espín 1/2. En la siguiente tabla se dan las dimensiones de la representación masiva con estados base  $\Omega_s$  (de espín  $s$ ) para N=1,2,3,4.

N = 1				N = 2				N = 3			N = 4		
Espín	$\Omega_0$	$\Omega_{1/2}$	$\Omega_1$	$\Omega_{3/2}$	Espín	$\Omega_0$	$\Omega_{1/2}$	$\Omega_1$	Espín	$\Omega_0$	$\Omega_{1/2}$	Espín	$\Omega_0$
0	2	1			0	5	4	1	0	14	14	0	42
1/2	1	2	1		1/2	4	6	4	1/2	14	20	1/2	48
1		1	2	1	1	1	4	6	1	6	15	1	27
3/2			1	2	3/2		1	4	3/2	1	6	3/2	8
2				1	2			1	2		1	2	1

#### 4.3.4 Ejemplo: Estados Masivos SUSY N=1.

Se analiza estos estados desde la base  $k_\sigma \equiv (k, 0, 0, 0)$ , donde:

$$C_{\mu\nu}|k_\sigma\rangle = B_i k|k_\sigma\rangle \delta_\mu^i \delta_\nu^0 - B_i k|k_\sigma\rangle \delta_\mu^0 \delta_\nu^i \quad (220)$$

y  $B_i = W_i - \bar{Q} \times Q : a_i^{-1}$

$$B_i|k_\sigma\rangle = (J_i k - \bar{Q} \times Q : a_i^{-1})|k_\sigma\rangle \equiv k S_i|k_\sigma\rangle \quad (221)$$

Por lo tanto se puede escribir:

$$C : C|k_\sigma\rangle = k^2 B.B|k_\sigma\rangle = k^4 S.S|k_\sigma\rangle, \quad S_i \equiv J_i - \frac{1}{k} \bar{Q} \times Q : a_i^{-1} \quad (222)$$

Con  $S_i$  el operador espinorial, definido aquí como un operador de rotación en la base standard. teniéndose que  $\bar{Q} \times Q : a_i^{-1}$  obedece el álgebra  $SO(3)$ .

$$[\bar{Q} \times Q : a_i^{-1}, \bar{Q} \times Q : a_j^{-1}] = (\bar{Q}_{\dot{\alpha}} Q_\beta \bar{Q}_{\dot{\gamma}} Q_\delta - \bar{Q}_{\dot{\gamma}} Q_\delta \bar{Q}_{\dot{\alpha}} Q_\beta) (a^{-1})_i^{\dot{\alpha}\beta} (a^{-1})_j^{\dot{\gamma}\delta} \quad (223)$$

$$= K_\mu (\bar{Q}_{\dot{\alpha}} Q_\delta a_{\beta\gamma}^\mu + \bar{Q}_{\dot{\gamma}} Q_\beta a_{\delta\dot{\alpha}}^\mu) (a^{-1})_i^{\dot{\alpha}\beta} (a^{-1})_j^{\dot{\gamma}\delta} \quad (224)$$

Donde

$$[\bar{Q} \times Q : a_i^{-1}, \bar{Q} \times Q : a_j^{-1}]|k_\sigma\rangle = k (\bar{Q}_{\dot{\alpha}} Q_\delta a_{\beta\gamma}^0 + \bar{Q}_{\dot{\gamma}} Q_\beta a_{\delta\dot{\alpha}}^0) (a^{-1})_i^{\dot{\alpha}\beta} (a^{-1})_j^{\dot{\gamma}\delta} |k_\sigma\rangle \quad (225)$$

y

$$[S_i, S_j] = iS_k \epsilon_{ij}^k \quad (226)$$

$S.S$  tiene valores propios  $s(s+1)$ , con  $s$  entero o semientero. Los conmutadores de  $S_i$  con  $Q$  y  $\bar{Q}$  son proporcionales a los  $K_i s$

$$[S_i, Q_\alpha] = [J_i, Q_\alpha] - \frac{1}{k}[\bar{Q} \times Q : a_i^{-1}, Q_\alpha] = Q_\beta c_{i\alpha}^\beta - \frac{1}{k}(K_i Q_\alpha + K_\nu Q_\beta b_{\alpha i}^{\nu\beta}) \quad (227)$$

Usando  $J_i = A_i + \bar{A}_i$ , 'el cual es vacío' en la base. Los generadores  $Q_\alpha, \bar{Q}_\alpha$  se comportan como 2 pares de operadores de creación y destrucción en irreps masivas SUSY  $N = 1$  con  $k$  y  $s$  fijos.

$$\{Q_\alpha, \bar{Q}_\beta\} = Ika_{\alpha\beta}^0 = 2Ik\delta_{\alpha\beta} \quad (228)$$

Dado un estado definido por  $|k, s\rangle$  se puede ahora definir un nuevo estado.

$$|\Omega\rangle \equiv Q_1 Q_2 |k, s\rangle, \quad Q_1 |\Omega\rangle = 0 = Q_2 |\Omega\rangle \quad (229)$$

$|\Omega\rangle$  es el estado de vacío de Clifford con respecto a los operadores de aniquilación fermiónicos  $Q_1, Q_2$ . Se puede notar que  $|\Omega\rangle$  es degenerado  $2s+1$  donde  $s_3$  toma los valores  $-s, \dots, +s$ . Actuando sobre  $|\Omega\rangle$ , Dado que  $S_i$  se reduce a  $J_i$ , se obtiene que  $|\Omega\rangle$  es ahora un estado propio de rotación.

$$|\Omega\rangle = |k, j, m_j\rangle \quad (230)$$

Por lo tanto todas las irreps en SUSY pueden ser caracterizadas por masa y espín. Es conveniente definir convencionalmente los operadores de creación y destrucción.

$$a_\alpha \equiv \frac{1}{\sqrt{2k}} Q_\alpha, \quad a_\alpha^\dagger \equiv \frac{1}{\sqrt{2k}} \bar{Q}_\alpha \quad (231)$$

Para un  $|\Omega\rangle$  la irrep masiva SUSY es dada como:

$$|\Omega\rangle, \quad a_1^\dagger |\Omega\rangle, \quad a_2^\dagger |\Omega\rangle, \quad \frac{1}{2} a_1^\dagger a_2^\dagger |\Omega\rangle = -\frac{1}{2} a_2^\dagger a_1^\dagger |\Omega\rangle \quad (232)$$

Donde el total de estados en la irrep masiva son  $4(2j+1)$

Calculando el espín de estos estados con el uso de los conmutadores:

$$[S_3, a_1^\dagger] = -\frac{1}{2} a_1^\dagger \quad [S_3, a_2^\dagger] = \frac{1}{2} a_2^\dagger \quad (233)$$

Por lo tanto para  $|\Omega\rangle = |k, j, m_j\rangle$  se encuentran los estados con espín  $m_s = m_j, m_j - \frac{1}{2}, m_j + \frac{1}{2}, m_j$ .

Como un ejemplo se considera ahora  $j = 0$  o la irrep fundamental masiva ( $N=1$ ). Donde  $|\Omega\rangle$  tiene espín cero, por lo tanto tenemos un total de (4) estados en la irrep, con espín  $m_s = 0, -\frac{1}{2}, \frac{1}{2}$  y 0 respectivamente. El operador paridad intercambia  $a_1^\dagger$  con  $a_2^\dagger$ , entonces uno de los estados de espín cero es un pseudoescalar. Para estos cuatro estados corresponde un estado masivo de Weyl fermiónico, un escalar real y un pseudoescalar real.

## 5 Supersimetría Desde Grupos $SO(n, m)$

El estudio de T.C.C. en espacios de Sitter  $SO(d, 1)$  y Anti-de Sitter  $SO(d - 1, 2)$  ha tenido mucho empuje en los últimos años y muestra ser un ambiente propicio para acercarse a un esquema de unificación. Dado que:

- En teorías de supergravedad gauge: si los estados base son invariantes bajo  $N$  supersimetrías independientes, puede ser adicionalmente invariante  $SO(N)$ . Donde el grupo de simetrías total que incluye simetrías fermiónicas, es caracterizado por la extensión graduada de  $Sp(4) \times SO(N)$  (siendo  $Sp(4) \sim SO(3, 2)$  en el álgebra) denotado por  $OSp(N|4)$  (ver [17, 18]). Dado que las representaciones de álgebras supersimétricas con  $N > 8$  contienen estados de helicidad mayor que dos, no se construyen. Por lo tanto el grupo de simetría mas grande permisible es dado por  $OSp(8|4)$ . Teniendo en cuenta que los campos en un supermultiplete no necesariamente deben tener la misma masa a diferencia del supergrupo  $^S P(N|3, 1)$ .
- Muy recientemente Maldacena [26] encontró una relación dual (correspondencia  $AdS/CFT$ ) entre: teorías de campos superconformales ( $CFT$ ), definidas en espacios planos  $d$ -Dimensionales que habitan sobre la frontera de un espacio-tiempo  $AdS$  y la teoría-M (teoría de cuerdas) compactificada en un espacio  $AdS$   $d+1$ -Dimensional, la cual corresponde a una teoría de supergravedad gauge. Por ejemplo es posible establecer una correspondencia  $AdS_7/CFT_6$  entre una teoría-M compactificada en  $S^4$  y una teoría de campos conformales en seis dimensiones. El supergrupo de la teoría-M asociado con  $N = 4$  es  $OSp(8^*|4)$  y es definido en un espacio  $AdS_7 \times S^4$  con un algebra bosónica  $SO(6, 2) \times USp(4)$  (ver [27]).

Cuando se construyen teorías de supergravedad gauge, estas permiten campos vectoriales gauge no-abelianos  $SO(N)$ . Donde el lagrangiano asociado contiene un término cosmológico  $\epsilon$  proporcional a  $g^2$  y el término masivo del gravitino  $\bar{\Psi}_\mu \gamma^{\mu\nu} \Psi_\nu$  proporcional a  $g$ , con  $g$  la constante de acoplamiento de los campos gauge no-abelianos. En el límite  $g \rightarrow 0$  esta teoría se reduce a una teoría de supergravedad ordinaria (SuperPoincaré  $\Rightarrow^S P(N|3, 1)$ ).

### 5.1 El Grupo $SO(d - 1, 2)$

Empezando con el grupo  $SO(n, m)$ , el cual se puede representar como el conjunto de las matrices  $\{T\}_{p \times p}$  con  $n + m = p$  que preservan  $g$  (con  $g$  una métrica sobre  $R^p$ ) y signatura  $(n, m)$ , es decir:

$$g(Tv, Tu) = g(v, u) \quad \text{con } v, u \in R^p \quad \text{y} \quad \det(T) = 1 \quad (234)$$

Con  $\frac{1}{2}(p - 1)p$  generadores de grupo asociados.

Tomando  $n = d$ ,  $m = 1$  ( $n = d - 1$ ,  $m = 2$ ), se puede hacer extensiones de las propiedades del grupo de Sitter  $SO(4, 1)$  (Anti-de Sitter  $SO(3, 2)$ ) al grupo  $SO(d, 1)$  ( $SO(d - 1, 2)$ ) con  $d \geq 4$ . Este corresponde al grupo de simetrías maximal en un espacio  $dS$  ( $AdS$ ), con  $\frac{1}{2}d(d + 1)$  isometrias. El cual es descrito por una hipersuperficie embuida en un espacio  $(d + 1)$ -dimensional definida como:<sup>6</sup>

$$(y^1)^2 + (y^2)^2 + \dots + (y^{d-1})^2 \pm (y^d)^2 - (y^{d+1})^2 = \eta_{ij} y^i y^j = -g^{-2} \quad \text{con } g \simeq 1/R \quad (235)$$

Siendo  $y^i$  ( $i = 1, 2, \dots, d - 1, d, d + 1$ ) las coordenadas y  $R$  el radio  $dS(AdS)$ . Esta hipersuperficie es invariante bajo transformaciones lineales que preserven la métrica  $\eta_{ij} = \text{diag}(+ + \dots + \pm, -)$ , las cuales constituyen el grupo  $SO(d, 1)$  ( $SO(d - 1, 2)$ ) con  $\frac{1}{2}d(d + 1)$  generadores denotados por  $J_{ij}$  y un álgebra definida como:

$$[J_{ij}, J_{kl}] = i(J_{ik}\eta_{jl} - J_{il}\eta_{jk} + J_{jl}\eta_{ik} - J_{jk}\eta_{il}) \quad (236)$$

Para  $SO(d - 1, 2)$  (caso de nuestro interés), los generadores se pueden representar de forma espinorial como una combinación de matrices gamma:

$$J_{ij} \Rightarrow \begin{cases} \frac{1}{2}\Gamma_{ij} & \text{si } i, j = 1, \dots, d - 1, d \quad \Gamma_{ij} \sim [\Gamma_i, \Gamma_j] \\ \frac{1}{2}\Gamma_j & \text{si } i = d + 1, j = 1, \dots, d - 1, d \end{cases} \quad (237)$$

Las cuales satisfacen la propiedad de Clifford  $\{\Gamma^i, \Gamma^j\} = 2\eta^{ij} \mathbf{1}$ , con  $\eta^{ij} = \text{diag}(+ + \dots + -)$ .

<sup>6</sup>El espacio  $dS(AdS)$  es un espacio homogéneo, lo cual significa que cualquier 2 puntos en él pueden ser relacionados por una isometría. Para el caso  $AdS$ , este tiene la topología de  $S^1$  [time]  $\times \mathbf{R}^{d-1}$ . Al Desenrollar  $S^1$ , se encuentra el espacio de cobertura universal denotado por  $CadS$ , El cual tiene la topología de  $\mathbf{R}^d$ .

## 5.2 Superálgebras Anti-de Sitter

En general cuando se considera un superálgebra Anti-de Sitter significa construir un álgebra combinada de simetrías bosónicas y fermiónicas, donde su estructura cambia drásticamente si  $d \geq 7$  (Ver [20]). Para  $d \leq 7$  el subálgebra bosónica correspondiente a las simetrías del espacio-tiempo coincide con el álgebra Anti-de Sitter. Cuando introducimos  $N$  generadores de supersimetría, cada uno transforma como un espinor bajo el grupo Anti-de Sitter, donde el subálgebra bosónica ya no es restringida a un álgebra Anti-de Sitter, se necesitan generadores bosónicos extras ( $N$ ) que transformen como un tensor antisimétrico de rango superior bajo el grupo de Lorentz. Estos  $N$  generadores transforman bajo un grupo compacto y aparecen en los anticonmutadores  $\{Q, \bar{Q}\}$ . Algo similar ocurre cuando se construye un álgebra SuperPoincaré ( $N$ -extensión) asociada con un espacio de Minkowski plano, donde los generadores bosónicos corresponden al grupo Poincaré, aumentados con los generadores de un grupo compacto asociado a las rotaciones de las supercargas. Los cuales son considerados nulos para una superálgebra con cargas centrales (ver ecuaciones (150) y (151)).

Tomando la clasificación de Nahm [20]. Los requerimientos para un álgebra superconformal en  $d$  o un superálgebra Anti-de Sitter en  $d + 1$  son:

- $SO(d-1, 2)$  o  $SO(d, 1)$  debe aparecer como un subgrupo factorizado de la parte bosónica del superálgebra. Para Nahm, este requerimiento está motivado por el teorema de Coleman–Mandula, pero se puede exigir igualmente que el álgebra bosónica sea el álgebra de isometrías de un espacio que tenga al espacio  $AdS$  como una factorización.
- Los generadores fermiónicos deben colocarse en una representación espinorial del grupo.

Obteniéndose la siguiente clasificación para las álgebras bosónicas simples con  $4 \leq d \leq 7$  que contengan  $SO(3, 2)$  o  $SO(4, 1)$ :

$$\begin{array}{lll}
SO(3, 2) \oplus SO(N) & \text{con } N = 1, 2, \dots & SO(4, 1) \oplus U(1) \\
SO(4, 2) \oplus U(N) & \text{con } N \neq 4 & SO(4, 2) \oplus SU(4) \\
SO(5, 2) \oplus SU(2) & & SO(6, 1) \oplus SU(2) \\
SO(6, 2) \oplus SU(N, H) & \text{con } N = 1, 2, \dots & 
\end{array} \tag{238}$$

$H$  indica los cuaterniones. Sobre las álgebras se establece el siguiente isomorfismo:

$$\begin{array}{ll}
SO(3, 2) = Sp(4) & SO(4, 1) = USp(2, 2) \\
SO(4, 2) = SU(2, 2) & SO(6, 2) = SO^*(8)
\end{array} \tag{239}$$

Dado que el propósito de este trabajo es encontrar grupos  $SO(n, m)$  que permitan generar un grupo  $P(3, 1)$  mediante una contracción ya sea del grupo de Sitter o Anti-de Sitter y a la vez su extensión supersimétrica permita acoplar grupos gauge de simetría interna. Usando la anterior clasificación: el grupo  $SO(n, m)$  minimal que cumple estas condiciones es dado por  $SO(3, 2)$ . Donde su extensión supersimétrica es dada por  $OSp(N|4)$ . El cual clasifica las representaciones de partículas en teorías de supergravedad y es la extensión graduada de  $SO(3, 2) \times SO(N)$ . En lo que sigue se considerará este grupo, donde  $SO(3, 2)$  tiene 10 generadores hermíticos  $J_{ij}$  y  $N(N - 1)/2$  generadores  $Y_{ab}$  de  $SO(N)$  con  $a, b = 1, \dots, N$ , con un álgebra asociada:

$$\begin{aligned}
\{Q_\alpha^a, \bar{Q}_\beta^b\} &= i(\delta^{ab} c_{\alpha\beta}^{ij} J_{ij} + \delta_{\alpha\beta} Y^{ab}) \\
[J_{ij}, Q_\alpha^a] &= -i c_{ij\alpha}^\beta Q_\beta^a \\
[Y^{ab}, Y^{cd}] &= -i(\delta^{ac} Y^{bd} - \delta^{bc} Y^{ad} + \delta^{bd} Y^{ac} - \delta^{ad} Y^{bc}) \\
[Y^{ab}, Q_\alpha^c] &= i(\delta^{ac} Q_\alpha^b - \delta^{bc} Q_\alpha^a)
\end{aligned} \tag{240}$$

Junto con (236), estas relaciones completan el superálgebra Anti-de Sitter. Como se muestra el álgebra Anti-de Sitter cambia su forma cuando consideramos  $N$  generadores de supersimetría, que rotan bajo la acción de un grupo compacto. Surgen unas cargas bosónicas extras asociadas con tensores de Lorentz de mayor rango, que aparecen en el lado derecho de los anticonmutadores  $\{Q, \bar{Q}\}$ . A diferencia de un espacio de Minkowski (plano),

en un espacio  $AdS$  el grupo de simetría interna es  $SO(N)$  en vez del grupo abeliano  $[U(1)]^p$  generado por las cargas centrales ( $p = \text{número total de cargas centrales independientes}$ ). (ver [17, 18, 19])

Las matrices  $c^{ij}$  en (240) son definidas como:

$$c^{ij} = \begin{cases} -\frac{1}{2}\gamma^i & \text{para } j = 5 \quad i = 1, 2, 3, 4 \\ \frac{1}{4} [\gamma^i, \gamma^j] & \text{para } i, j = 1, 2, 3, 4 \end{cases} \quad (241)$$

Aquí se usa la siguiente representación para las  $\gamma$ -matrices:

$$\gamma^0 = \begin{pmatrix} 1 & 0 \\ 0 & -1 \end{pmatrix} \quad \gamma^i = \begin{pmatrix} 0 & \sigma^i \\ -\sigma^i & 0 \end{pmatrix} \quad (242)$$

Además se usa la parametrización espinorial de Majorana como:

$$Q_\alpha^a = \begin{pmatrix} a_\alpha^a \\ \epsilon_{\alpha\beta} \bar{a}_\beta^a \end{pmatrix} \quad \epsilon = \begin{pmatrix} 0 & 1 \\ -1 & 0 \end{pmatrix} \quad (243)$$

Siendo  $\bar{a}_\alpha^a$  es el adjunto hermitico de  $a_\alpha^a$ . De (240) y (243) se obtiene que:

$$\begin{aligned} [J_{45}, a_\alpha^a] &= -\frac{1}{2} a_\alpha^a & [J_{45}, \bar{a}_\alpha^a] &= \frac{1}{2} \bar{a}_\alpha^a \\ [J_i, a_\alpha^a] &= -\frac{1}{2} (\sigma_a)_\alpha^\beta a_\beta^a & [J_i, \bar{a}_\alpha^a] &= \frac{1}{2} \bar{a}_\beta^a (\sigma_a)_\alpha^\beta & J_{ij} &\equiv \epsilon_{ij}^k J_k \end{aligned} \quad (244)$$

Donde  $\bar{a}_\alpha^a$  y  $a_\alpha^a$  suben y bajan la energía respectivamente por  $1/2$ , con  $\bar{a}_\alpha^a$  un operador espinorial standard irreducible con respecto a las rotaciones espaciales. Usando (243) se puede escribir explícitamente (240) como:

$$\begin{aligned} \{a_\alpha^a, a_\beta^b\} &= \delta^{ab} (J_{45} + \sigma^i J_i)_{\alpha\beta} + i \delta_{\alpha\beta} Y^{ab} \\ \epsilon_{\alpha\gamma} \{\bar{a}_\gamma^a, \bar{a}_\beta^b\} &= \delta^{ab} \sigma_{\alpha\beta}^i J_i^+ & \{a_\alpha^a, a_\gamma^b\} \epsilon_{\gamma\beta} &= \delta^{ab} \sigma_{\alpha\beta}^i J_i^+ \end{aligned} \quad (245)$$

Se puede ver que los operadores compactos en el subálgebra bosónica  $SO(3, 2) \times SO(N)$  pueden ser escritos como anticonmutadores de operadores de creación y aniquilación mientras que los operadores no-compactos siempre involucran ya sean 2 operadores de creación o 2 operadores de destrucción. Esta exposición es cierta para otras álgebras no-compactas y superálgebras cuando se expresan estos generadores en términos de productos de operadores: creación, aniquilación fermiónicos y bosónicos. (ver [23])

Como se mostró en la sección (4), el espacio plano es consistente con supersimetría. Esto también es cierto para un espacio  $AdS$ , con un mismo número de isometrías pero ahora corresponden al grupo Anti-de Sitter. Los cuales están relacionados al tomar el límite  $R \rightarrow \infty$  (o  $g \rightarrow 0$ , que corresponde a un espacio plano). Donde el algebra Anti-de Sitter es contraída en el álgebra de Poincaré (ver sección (3.1)). Mecanismo que también puede ser aplicado a las superálgebras reescribiendo los generadores como:

$$\begin{aligned} Q_\alpha^a &\rightarrow \varphi_\alpha^a \equiv \frac{1}{\sqrt{R}} Q_\alpha^a & \text{con } \lim_{R \rightarrow \infty} \varphi_\alpha^a &\equiv Q_\alpha^a \\ J_{5\nu} &\rightarrow \Pi_\nu \equiv \frac{1}{R} J_{5\nu} & \text{con } \lim_{R \rightarrow \infty} \Pi_\nu &\equiv K_\nu \\ J_{\mu\nu} &\rightarrow J_{\mu\nu} \end{aligned} \quad (246)$$

Por lo tanto el superálgebra  $OSp(N|4)$  toma la forma:

$$[J_{\mu\nu}, J_{\rho\sigma}] = i(J_{\mu\rho}\eta_{\nu\sigma} - J_{\mu\sigma}\eta_{\nu\rho} + J_{\nu\sigma}\eta_{\mu\rho} - J_{\nu\rho}\eta_{\mu\sigma}) \quad (247)$$

$$[\Pi_\mu, J_{\rho\sigma}] = i(\Pi_\rho\eta_{\mu\sigma} - \Pi_\sigma\eta_{\mu\rho}) \quad [\Pi_\mu, \Pi_\nu] = \frac{i\eta_z}{R^2} J_{\mu\nu} \quad (248)$$

$$[Y^{ab}, Y^{cd}] = -i(\delta^{ac}Y^{bd} - \delta^{bc}Y^{ad} + \delta^{bd}Y^{ac} - \delta^{ad}Y^{bc}) \quad (249)$$

$$[Y^{ab}, \varphi_\alpha^c] = i(\delta^{ac}\varphi_\alpha^b - \delta^{bc}\varphi_\alpha^a) \quad [J_{\mu\nu}, \varphi_\alpha^a] = -i c_{\mu\nu\alpha}^\beta \varphi_\beta^a \quad [\Pi_\nu, \varphi_\alpha^a] = -\frac{1}{R} (i c_{5\nu\alpha}^\beta \varphi_\beta^a) \quad (250)$$

$$\{\varphi_\alpha^a, \bar{\varphi}_\beta^b\} = i(\delta^{ab} c_{\alpha\beta}^\mu \Pi_\mu + \frac{1}{R} (\delta^{ab} c_{\alpha\beta}^{\mu\nu} J_{\mu\nu} + \delta_{\alpha\beta} Y^{ab})) \quad (251)$$

Tomando  $R \rightarrow \infty$ , obtenemos un álgebra  ${}^S P(N|3, 1) \times SO(N)$ :

$$\begin{aligned} [K_\mu, J_{\rho\sigma}] &= i(K_\rho \eta_{\mu\sigma} - K_\sigma \eta_{\mu\rho}) & [K_\mu, K_\nu] &= 0 \\ [Y^{ab}, Q_\alpha^c] &= i(\delta^{ac} Q_\alpha^b - \delta^{bc} Q_\alpha^a) & [J_{ij}, Q_\alpha^a] &= -i c_{ij\alpha}^\beta Q_\beta^a & [K_\nu, \varphi_\alpha^a] &= 0 \\ \{Q_\alpha^a, \bar{Q}_\beta^b\} &= i\delta^{ab} c_{\alpha\beta}^\mu K_\mu \end{aligned} \quad (252)$$

Junto con (247) y (249). En lo que sigue ver [21, 22, 23] como complemento.

### 5.3 Representaciones Unitarias Irreducibles de $OSp(N|4)$

Para estudiar las irreps unitarias de  $OSp(N|4)$  se emplea un método análogo al usado en la sección (3.3). Entonces se asume primero la existencia de una representación espacial sobre la cual todos los operadores de  $OSp(N|4)$  puedan actuar. Esto requiere que exista un estado de baja energía y junto con la última relación en (245) se obtenga la condición:

$$a_\alpha^a |(E_0, s, \dots) E_0 sm \dots\rangle = 0 \quad (253)$$

Lo cual implica automáticamente (120). Aquí se necesitan más etiquetas que en (118) para designar los estados y su contenido  $SO(N)$  de isospín, donde los puntos indican las etiquetas de la representación de  $SO(N)$ . De (245) se sigue que todas las combinaciones pares de operadores de simetría  $\bar{a}_\alpha^a$  pueden ser expresadas como elementos pares del álgebra  $OSp(N|4)$ . Para construir la representación espacial del estado de vacío, se considera primero las combinaciones simétricas:

$$\begin{aligned} \bar{B} = \bar{B}_0 \cup \bar{B}_1 \cup \dots \cup \bar{B}_{2N} \Rightarrow \bar{B}_0 &= \{1\}, & \bar{B}_1 &= \{\bar{a}_\alpha^a\} \\ \bar{B}_2 &= \{[\bar{a}_\alpha^a, \bar{a}_\beta^b]\} & \bar{B}_3 &= \{\Sigma \pm \bar{a}_\alpha^a \bar{a}_\beta^b \bar{a}_\gamma^c\} \quad etc. \end{aligned} \quad (254)$$

$\Sigma$  indica las sumas hasta segundo orden. Se tiene que  $\bar{B}_n$  contiene  $\binom{2N}{n}$  operadores y el conjunto  $\bar{B}$  contiene  $2^{2N}$  operadores. La representación espacial es definida como el generador de todos los vectores de la forma:

$$(M_1^+)^{n_1} (M_2^+)^{n_2} (M_3^+)^{n_3} \bar{B} |(E_0, s, \dots) E_0 sm \dots\rangle \quad (255)$$

Esta relación es importante, ya que se necesita para estudiar la acción de  $\bar{B}$  sobre el vacío, dados los resultados previos en la representación de  $SO(3, 2)$ . Todas las representaciones unitarias de  $OSp(N|4)$  son del tipo:

$$D(E_0^{(1)}, s^{(1)}) \oplus \dots \oplus D(E_0^{(\tau)}, s^{(\tau)}) \quad \text{con } \tau < \infty \quad (256)$$

Aquí se han suprimido las etiquetas de isospín por simplicidad. En un espacio de Minkowski plano se conoce que todos los campos pertenecen a un supermultiplete que está sujeto a unas ecuaciones de campo con la misma masa. Esto se debe a que los operadores de momentum conmutan con las cargas supersimétricas, siendo  $K.K$  un operador Casimir. Una característica que diferencia la representaciones de supersimetría Anti-de Sitter de supersimetría en el grupo Poincaré es que, en general,  $E_0^{(1)} \neq E_0^{(2)} \neq \dots \neq E_0^{(\tau)}$ . Teniéndose que las partículas en un supermultiplete dado no necesariamente poseen una masa igual si se identifica  $E_0 \rightarrow m$ .

Para  $N = 1$  el subálgebra bosónica de (240) es caracterizada por  $SO(3, 2)$ , donde los nuevos operadores que se consideran son  $\bar{B}_1 = \{\bar{a}_\alpha, \alpha = 1, 2\}$  y  $\bar{B}_2 = \epsilon^{\alpha\beta} \bar{a}_\alpha \bar{a}_\beta$ . Teniendo en cuenta la ecuación (244), el operador  $\bar{a}_\alpha$  es un operador  $\Delta = 1/2$ , donde  $\bar{a}_1$  y  $\bar{a}_2$  suben y bajan respectivamente la componente  $z$  de espín en un medio de la unidad. Al actuar  $\bar{a}_1$  sobre el estado  $|(E_0, s) E_0, s, m\rangle$  obtenemos:

$$\begin{aligned} \bar{a}_1 |(E_0, s) E_0, s, m\rangle &= R_+ \langle sm \frac{1}{2} \frac{1}{2} | s + \frac{1}{2}, m + \frac{1}{2} \rangle |(E_0, s) E_0 + \frac{1}{2}, s + \frac{1}{2}, m + \frac{1}{2} \rangle + \\ &R_- \langle sm \frac{1}{2} \frac{1}{2} | s - \frac{1}{2}, m + \frac{1}{2} \rangle |(E_0, s) E_0 + \frac{1}{2}, s - \frac{1}{2}, m + \frac{1}{2} \rangle \end{aligned} \quad (257)$$

Teniendo en cuenta los coeficientes de Clebsh-Gordan:

$$\langle sm \frac{1}{2} \frac{1}{2} | s + \frac{1}{2}, m + \frac{1}{2} \rangle = \left( \frac{s+m+1}{2s+1} \right)^{\frac{1}{2}} \quad \langle sm \frac{1}{2} \frac{1}{2} | s - \frac{1}{2}, m + \frac{1}{2} \rangle = - \left( \frac{s-m}{2s+1} \right)^{\frac{1}{2}} \quad (258)$$

Usando (245) junto con (253) para  $N = 1$ . se obtiene que:

$$|R_+|^2 = E_0 + s \quad |R_-|^2 = E_0 - s - 1 \quad (259)$$

Partiendo de la representación  $D(E_0, s)$  de  $SO(3, 2)$  en (257), aquí se han producido dos (2) nuevas representaciones  $D(E_0 + \frac{1}{2}, s + \frac{1}{2})$  y  $D(E_0 + \frac{1}{2}, s - \frac{1}{2})$ . La segunda está ausente si  $s = 0$  o  $E_0 = s + 1$  para  $s \geq \frac{1}{2}$ .

Se puede considerar la acción del operador  $[\bar{a}_1, \bar{a}_2] = \epsilon_{\alpha\beta} \bar{a}_\alpha \bar{a}_\beta$  sobre el vacío, el cual baja la energía por una unidad y deja igual los números cuánticos de momento angular  $j$  y  $m$  del vacío. El nuevo estado puede ser obtenido como una superposición de estados de vacío  $|(E_0 + 1, s)E_0 + 1, s, m\rangle$  de la representación  $D(E_0 + 1, s)$  de  $SO(3, 2)$  y de estados de la representación  $D(E_0, s)$  (ver ec. (257)). Para  $m = s$ , obtenemos que:

$$\begin{aligned} [\bar{a}_1 \bar{a}_2] |(E_0, s)E_0, s, s\rangle &= R_0 |(E_0 + 1, s)E_0 + 1, s, s\rangle + \alpha M_{1+2i}^+ |(E_0, s)E_0, s, s - 1\rangle + \\ &\quad \beta J_3^+ |(E_0, s)E_0, s, s\rangle \end{aligned} \quad (260)$$

Como en la sección (3.2) todos los estados se asumen ortogonales. Para calcular los coeficientes  $R_0$ ,  $\alpha$  y  $\beta$  se debe tener en cuenta que el estado  $|(E_0 + 1, s)E_0 + 1, s, s\rangle$  debe ser aniquilado por el operador  $M_a^-$  es cual es un estado de vacío de la representación  $D(E_0 + 1, s)$ . Usando (113) y

$$[M_a^-, \bar{a}_\alpha] = (\epsilon\sigma_a)^\beta_{\alpha} a_\beta \quad (261)$$

Se obtiene:

$$\begin{aligned} \alpha &= -\frac{\sqrt{s}}{E_0 - 1} & \beta &= -\frac{s}{E_0 - 1} & \text{para } s \neq 0 \\ \alpha &= \beta = 0 & & & \text{para } s = 0 \end{aligned} \quad (262)$$

Donde

$$\|[\bar{a}_1 \bar{a}_2] |(E_0, s)E_0, s, s\rangle\|^2 = 2E_0(2E_0 - 1) - 4s(s + 1) \quad (263)$$

Comparando la norma en ambos lados, se obtiene:

$$|R_0|^2 = \frac{2}{E_0 - 1} (2E_0 - 1)(E_0 + s)(E_0 - s - 1) \quad (264)$$

De aquí se puede notar que la representación  $D(E_0 + 1, s)$  está ausente si se toma  $s = 0$  y  $E_0 = \frac{1}{2}$  o si  $E_0 = s + 1$  para  $s \geq \frac{1}{2}$ . En resumen, se pueden tener las siguientes representaciones unitarias para  $OSp(1|4)$ :

- Representación de Wess-Zumino ( $E_0 > \frac{1}{2}$ )

$$D(E_0, 0) \oplus D(E_0 + \frac{1}{2}, \frac{1}{2}) \oplus D(E_0 + 1, 0) \quad (265)$$

- Representación ‘masiva’ de espín superior ( $E_0 > s + 1, s \geq \frac{1}{2}$  con  $s = \frac{1}{2}, 1, \frac{3}{2}, \dots$ )

$$D(E_0, s) \oplus D(E_0 + \frac{1}{2}, s + \frac{1}{2}) \oplus D(E_0 + \frac{1}{2}, s - \frac{1}{2}) \oplus D(E_0 + 1, s) \quad (266)$$

- Representación ‘no-masiva’ de espín superior ( $E_0 = s + 1, s \geq \frac{1}{2}$  con  $s = \frac{1}{2}, 1, \frac{3}{2}, \dots$ )

$$D(s + 1, s) \oplus D(s + \frac{3}{2}, s + \frac{1}{2}) \quad (267)$$

- Representación singleton de Dirac

$$D(\frac{1}{2}, 0) \oplus D(1, \frac{1}{2}) \quad (268)$$

La construcción de irreps unitarias de  $OSp(N|4)$  para  $N \geq 2$  es similar y se facilita dado que cualquier irrep de  $OSp(N|4)$  se puede descomponer en términos de los multipletes base de  $OSp(1|4)$ . Si bien las  $N$ -extensiones de multipletes de orden superior consiste de multipletes de  $OSp(1|4)$ . Se debe tener cuidado ya que surgen nuevos rasgos en el análisis con  $N > 1$ . Por otro lado la estructura de  $OSp(N|4)$  admite nuevos tipos de multipletes que no tienen análogos en SuperPoincaré. Aunque pueden tener una estructura similar en SuperPoincaré con cargas central, el grupo  $SO(N)$  se mantiene aquí.

## 5.4 Aplicación al grupo $OSp(8|4)$

Al tomar el grupo  $OSp(8|4)$  este corresponde al grupo de invariancia de los estados base en supergravedad  $11 - Dim.$  sobre  $s^7$ , donde las flutuaciones del estado base corresponden a irreps de  $OSp(8|4)$ , las cuales tienen un espín maximal  $s = 2$ . Los campos gauge  $2, \frac{3}{2}, 1$  que pertenecen a un multiplete gravitacional son precisamente los campos relacionados a las traslaciones, cargas espinoriales y las cargas centrales respectivamente. En particular los campos vectoriales etiquetan un grupo abeliano (El centro) y las simetrías internas (generalmente no-abelianas) transforman como cargas espinoriales. Ahora se procede a clasificar las representaciones supersimétricas  $N = 8$  con un espín maximal  $s = 2$ . Como antes (cap. 4) se hacen las cuentas de estados de helicidad para  $N = 8$ , con un número total de estados:

$$\sum_{p=0}^{N=8} \binom{8}{p} = (1+1)^8 = 256 \quad \Rightarrow \quad \begin{array}{cccccccccc} s & -2 & -\frac{3}{2} & -1 & -1/2 & 0 & 1/2 & 1 & \frac{3}{2} & 2 \\ \hline \text{Estados} & 1 & 8 & 28 & 56 & 70 & 56 & 28 & 8 & 1 \end{array}$$

Cada término es la contribución del número de índices en un tensor antisimétrico de rango- $p$ , clasificados como:

- Número total de fermiones  $\Rightarrow 128 = 8 + 56 + 56 + 8$
- Número total de bosones  $\Rightarrow 128 = 1 + 28 + 70 + 28 + 1$

Como ya se vio en la sección (4) el número total de bosones es igual al número total de fermiones.

$$\begin{array}{llll} (1) & \text{Gravitón} & (28) & \text{Campos de espín} - 1 \\ (8) & \text{Gravitinos} & (56) & \text{Campos de espín} - \frac{1}{2} \end{array} \quad \begin{array}{ll} (35) & \text{Escalares} \\ (35) & \text{Pseudoescales} \end{array} \quad (269)$$

Dado el grupo  $OSp(8|4)$  este permite las siguientes descomposiciones:

$$OSp(8|4) \supset OSp(1|4) \times SO(7) \quad OSp(8|4) \supset Sp(4) \times SO(8) \quad (270)$$

Lo cual permite las correspondientes reducciones:

$$OSp(8|4) \downarrow OSp(1|4) \times SO(7) \quad OSp(8|4) \downarrow Sp(4) \times SO(8) \quad (271)$$

En resumen, partiendo del supergrupo  $OSp(8|4)$ , se puede obtener el resultado deseado por varias rutas:

$$\begin{array}{ccccc} & & \mathbf{OSp(8|4)} & & \\ & & \downarrow & & \downarrow \\ & & OSp(1|4) \times SO(7) & & Sp(4) \times SO(8) \\ & & & & \sim SO(3,2) \times SO(8) \\ & \swarrow & & \downarrow & \\ {}^S P(1|3,1) \times SO(7) & & Sp(4) \times SO(7) & & \\ \swarrow & & \sim SO(3,2) \times SO(7) & & \swarrow \\ \mathbf{P(3,1)} \times \mathbf{SO(7)} & & \mathbf{P(3,1)} \times \mathbf{SO(7)} & & \mathbf{P(3,1)} \times \mathbf{SO(8)} \end{array}$$

El anterior diagrama se puede explicar como sigue:

- Suponiendo la reducción  $OSp(8|4) \downarrow OSp(1|4) \times SO(7)$ 
  - Se usa la contracción  $OSp(1|4) \rightarrow {}^S P(1|3,1)$ , expuesto en la sección (5.2) y luego se aplica otra reducción  ${}^S P(1|3,1) \downarrow P(3,1)$  para obtener el grupo producto directo  $P(3,1) \times SO(7)$ .
  - Se supone otra reducción  $OSp(1|4) \downarrow Sp(4)$  (con  $Sp(4) \sim SO(3,2)$  en el álgebra) y usando la contracción  $SO(3,2) \rightarrow P(3,1)$ , se obtiene  $P(3,1) \times SO(7)$ , lo cual está expuesto en la sección (3.1).
- Suponiendo la reducción  $OSp(8|4) \downarrow Sp(4) \times SO(8)$  y usando la contracción  $SO(3,2) \rightarrow P(3,1)$ , se obtiene  $P(3,1) \times SO(8)$ , expuesto en la sección (3.1).

Lo cual completa nuestro acercamiento. Cual es la ruta física?. Ya que por reducción no es posible encontrar los grupos del Modelo Standard aquí, dado que el grupo minimal en teorías de gran unificación (GUT) es  $SO(10) \supset SU(5) \supset SU(3) \times SU(2) \times U(1)$ . En que forma es posible?. Estas son preguntas a resolver.

## References

- [1] Inönü E. and Wigner E. P., *Proc. Natl. Acad. Sci., USA* **39**-510 (1953) and **40**-119 (1954).  
Inönü E., *Contraction of lie groups and their representations*, Lectures of the Istanbul Summer School of Theoretical Physics. (New York, Gordon and Breach, Science Publishers, 1962)
- [2] Hermann R., *Lie Groups for Physicists*, (Amsterdam, W. A. Benjamin, 1966)
- [3] Greiner W. and Müller B., *Quantum Mechanics Symmetries*, (New York, Springer, 1994)
- [4] Izmetév A. A., Pogosyan G. S., Sissikian A. N., *Contractions on the Lie algebras and separation of variables. The n-dimensional sphere*, Journal of Mathematical Physics **40** 1549-1573 (1999).

### Sección 3

- [5] Dirac P.A.M., *The electron wave equation in de Sitter space*, Ann. Math. **36** (1935) 657; *A remarkable representation of the 3 + 2 de Sitter group*, J. Math. Phys. **4** (1963) 901.
- [6] Fronsdal C., *Elementary particles in a curved space*, Rev. Mod. Phys. **37** (1965) 221; (II), Phys. Rev. **D10** (1974) 589; C. Fronsdal and R.B. Haugen, *Elementary particles in a curved space III*, Phys. Rev. **D12** (1975) 3810; C. Fronsdal, (IV), Phys. Rev. **D12** (1975) 3819.
- [7] Haase R., *Symmetry In Space-Time Quantum Physics*, (**Not published**).
- [8] El Gradechi A. M., and De BiSvre S., *Space Quantum Mechanics on The Anti De Sitter Space-Time and its Poincaré Contraction*, **hep-th** 9210133.

### Sección 4

- [9] Coleman S. and Mandula J., *All possible symmetries of the S matrix*, Phys. Rev. **159** (1967) 1251.
- [10] Haag R., Lopuszański J.T. and Sohnius M., *All possible generators of supersymmetries of the S-matrix*, Nucl. Phys. **B88** (1975) 257.
- [11] Srivastava Prem P., *Supersymmetry, Superfield and Supergravity On Introduction, 2nd Ed.*, (Princeton, Wess & Bagger, 1992)
- [12] Berenstein D., *Supergravedad*, (Monografía de Grado - Univ. Nacional de Colombia, 1991)
- [13] Frappat L., Sorba P. and Sciarrino A., *Dictionary on Lie superalgebras*, **hep-th** 9607161.
- [14] Tani Yoshiaki, *Introduction to Supergravities in Diverse Dimensions.*, **hep-th** 9802138.
- [15] Troncoso R. and Zanelli J. *Gauge Supergravities for all odd Dimensions*, **hep-th** 9807029.  
*Higher Dimensional Gravity, Propagating Torsion and AdS Gauge Invariance*, **hep-th** 9907109.
- [16] Van Proeyen A.; *Tools for Supersymmetry*, **hep-th** 9910030.

### Sección 5

- [17] Ferrara S. and Van Nieuwenhuizen P., Phys. Rev. **37** (1976) 1669  
Ferrara S. and Scherk J. and Zumino B., Phys. Letters **37** (1976) 1669
- [18] Freedman D.Z., Phys. Rev. Lett. **38** (1976) 105.
- [19] Ferrara S., *Algebraic properties of extended supergravity in de Sitter space*, Phys. Lett. **69B** (1977) 481.
- [20] Nahm W., *Supersymmetries and their representations*, Nucl. Phys. **B135** (1978) 149.

- [21] Heidenreich W., *All linear unitary irreducible representations of de Sitter supersymmetry with positive energy*, Phys. Lett. **110B** (1982) 461.
- [22] Günaydin M. and Warner N.P., *Unitary supermultiplets of  $OSp(8|4, \mathbf{R})$  and the spectrum of the  $S^7$  compactification of eleven-dimensional supergravity*, Nucl. Phys. **B272** (1986) 99.
- [23] Günaydin M., Van Nieuwenhuizen P. and Warner N.P., *General construction of the unitary representations of anti-de Sitter superalgebras and the spectrum of the  $S^4$  compactification of eleven-dimensional supergravity*, Nucl. Phys. **B255** (1985) 63.
- [24] Nicolai H., *Representations of supersymmetry in anti-de Sitter space*, Supersymmetry and Supergravity '84, Proceedings of the Trieste Spring School. (World Scientific, 1984).
- [25] De Witt B., Herger I.; *Anti-de Sitter Supersymmetry*, **hep-th** 9908005.
- [26] Maldacena J., *The large- $N$  limit of superconformal field theories and supergravity*, Adv. Theor. Math. Phys. **2** (1998) 231, **hep-th** 9711200.
- [27] Günaydin M. and Takemae S., *Unitary supermultiplets of  $OSp(8^*|4)$  and the  $AdS_7/CFT_6$  Duality.*, **hep-th** 9910110.
- [28] Kaku M., *Quantum Field Theory, A Modern Introduction*, (New York, Oxford University Press, 1993).